

MUNI
SCI

Fluorescenční mikroskop



doc. RNDr. Jakub Neradil, Ph.D.
Ústav experimentální biologie PřF MU

Program přednášky:

- konstrukce a princip fluorescenčního mikroskopu
- objektivy
- zdroje světla
- filtry

Otto Heimstaedt a Heinrich Lehmann (1911-1913)

- sestrojili první fluorescenční mikroskop s UV excitací
- autofluorescence bakterií, protozoí, rostlinných a živočišných buněk
- organické makromolekuly - albumin, elastin, keratin



Stanislav von Prowazek (1913)

- pozorování ve fluorescenčním mikroskopu vazbu fluoroforů na živé buňky

- odhalení původce tyfu – *Rickettsia prowazekii*

3. Fluorescenz der Zellen. — Reicherts Fluorescenzmikroskop.
Von S. v. Prowazek.
(Aus d. Institut f. Schiffs- u. Tropenkrankheiten Hamburg. Leiter Obermedizinalrat
Prof. Nocht.) eingeg. 1. Juni 1913.

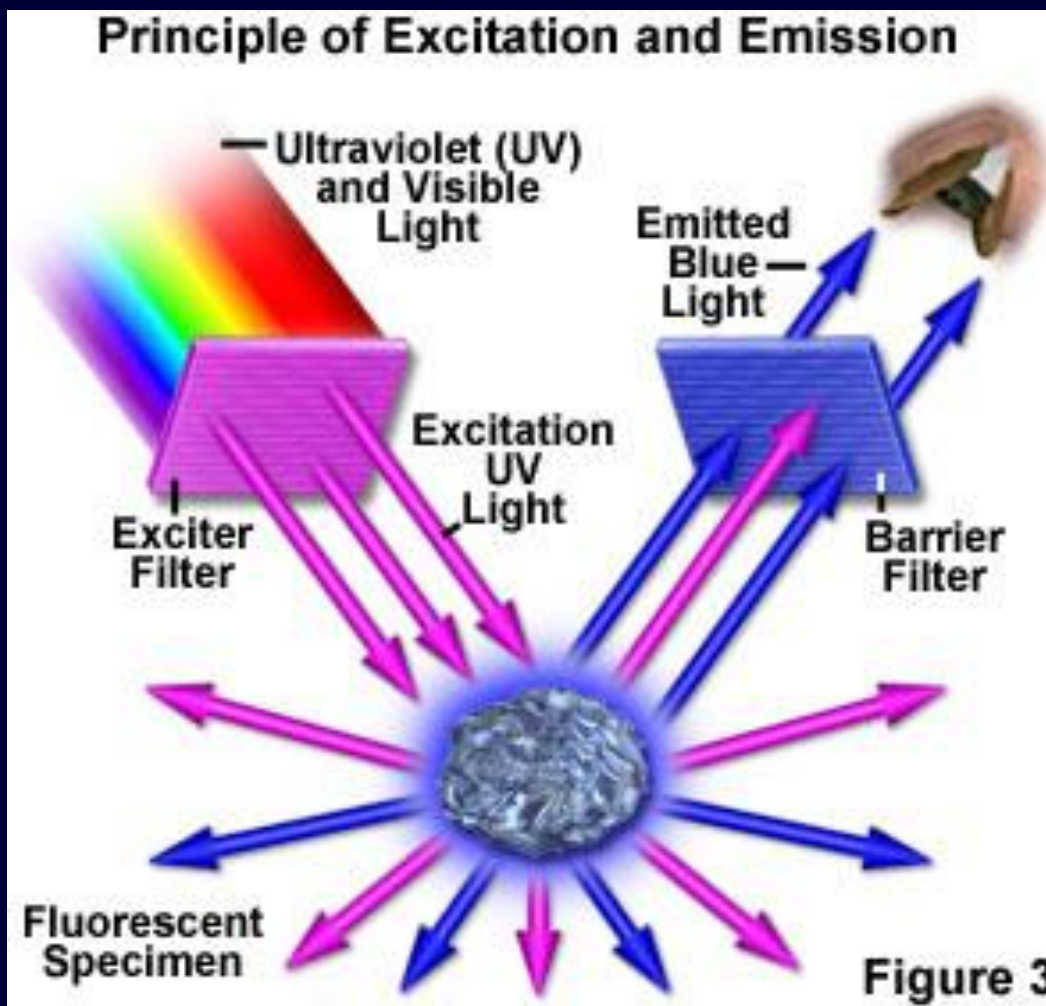
Fluorescenzerscheinungen bei Organismen waren bis jetzt verhältnismäßig selten Gegenstand eingehender Studien. Auf Grund der mir zugänglichen Literatur wiesen zuerst Helmholtz (Pogg. Ann. 1855) und Setschenow (Gräfes Archiv 1859) nach, daß die Stäbchen und die Zapfenschicht des Auges fluoreszieren, selbst wenn sie des Sehpurpurs beraubt werden (Kühne). Parinaud machte den Versuch,

Fluorescenční mikroskop

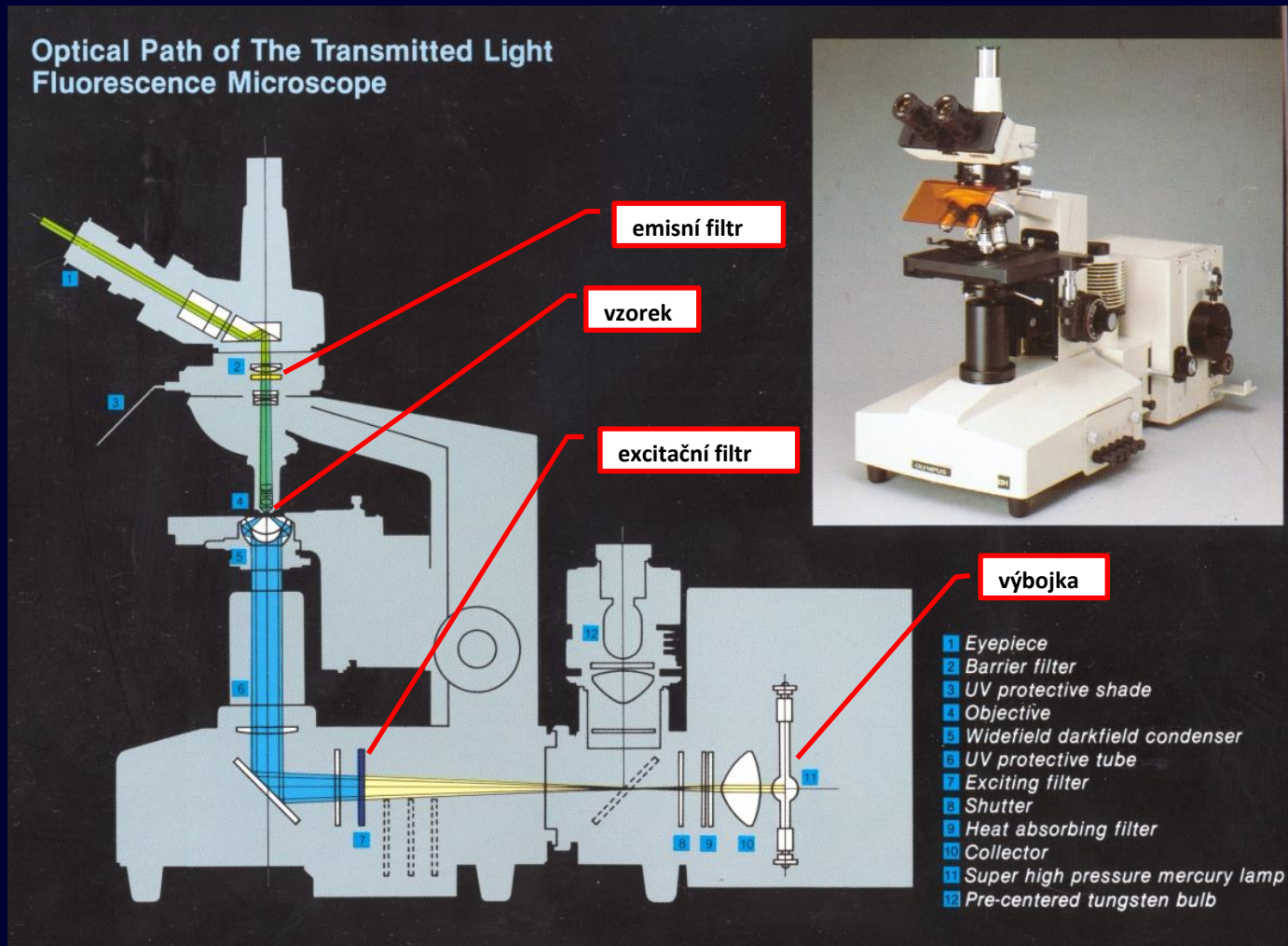
- je mikroskopem světelným
- lze pozorovat i v procházejícím „bílém“ světle



Základní princip fluorescenční mikroskopie

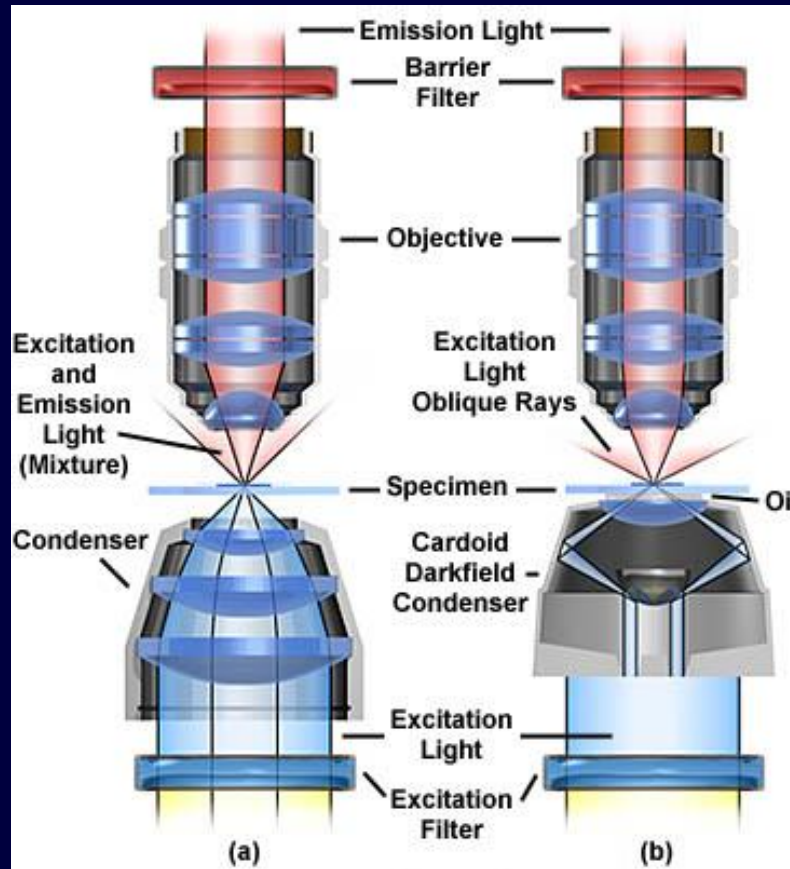


Transmisionní fluorescenční mikroskop (Transmission light fluorescence microscope)



Transmisní fluorescenční mikroskop

- výhodnější použití kondenzoru pro temné pole
- excitační světlo nemíří do objektivu
- oddělené filtry

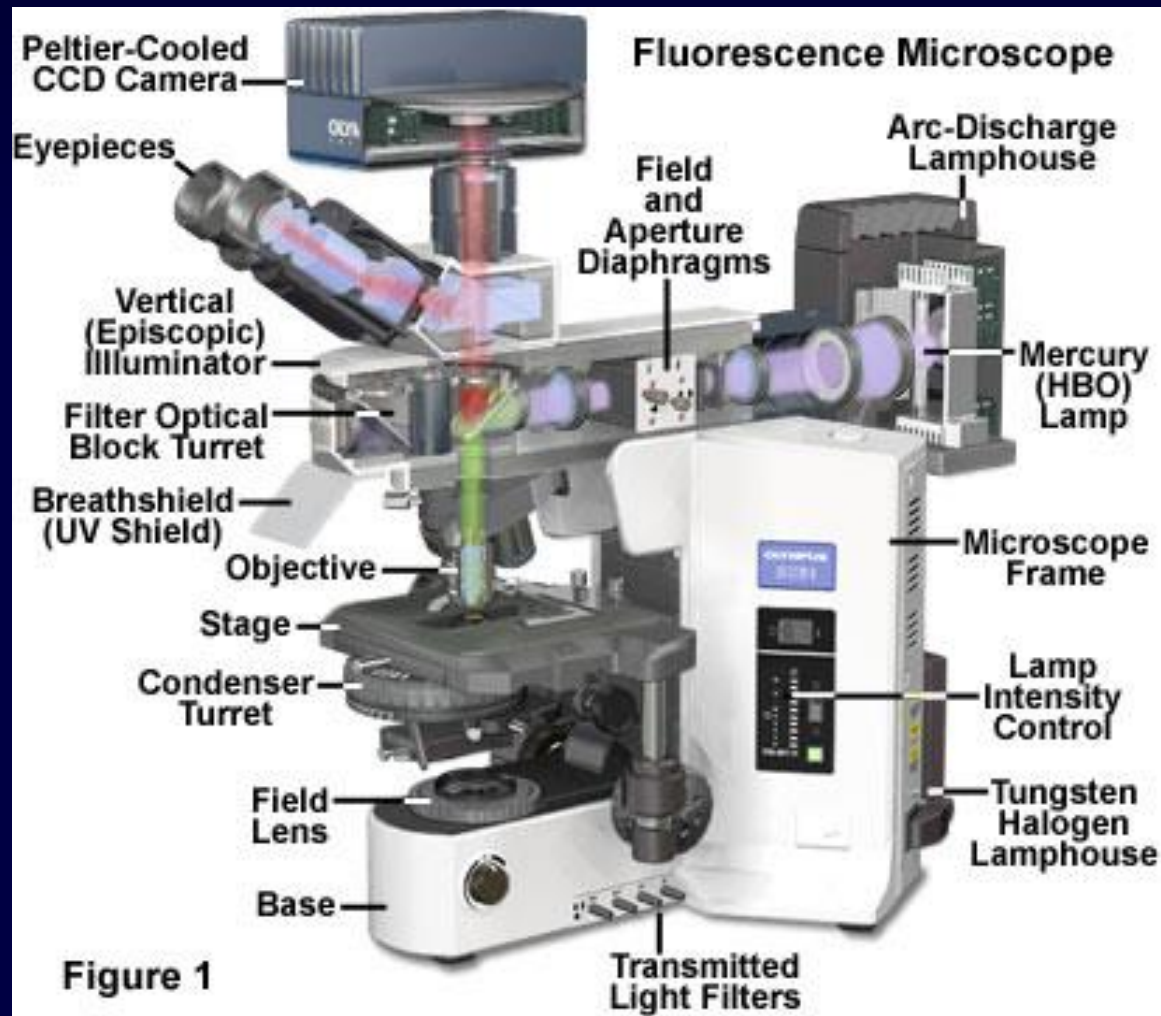


Epifluorescenční mikroskop (Reflected light fluorescence microscope)

- kostra
- zdroj bílého světla
- kondenzor
- stolek
- objektivy
- tubus
- okuláry
- ovládací prvky:
- makro+mikrošroub
- ovládání světla
- filtry, clony...

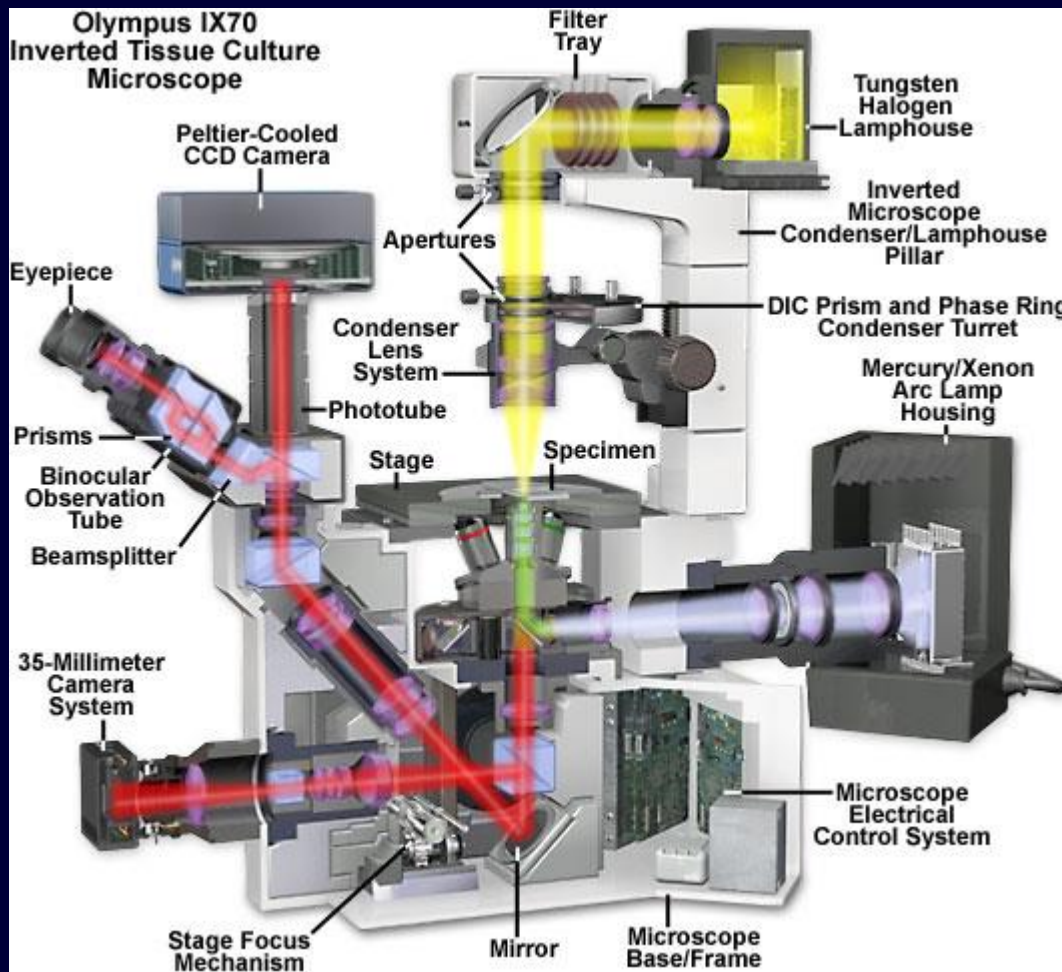
ILUMINÁTOR

- zdroj excitačního světla
- clony, filtry
- kostky

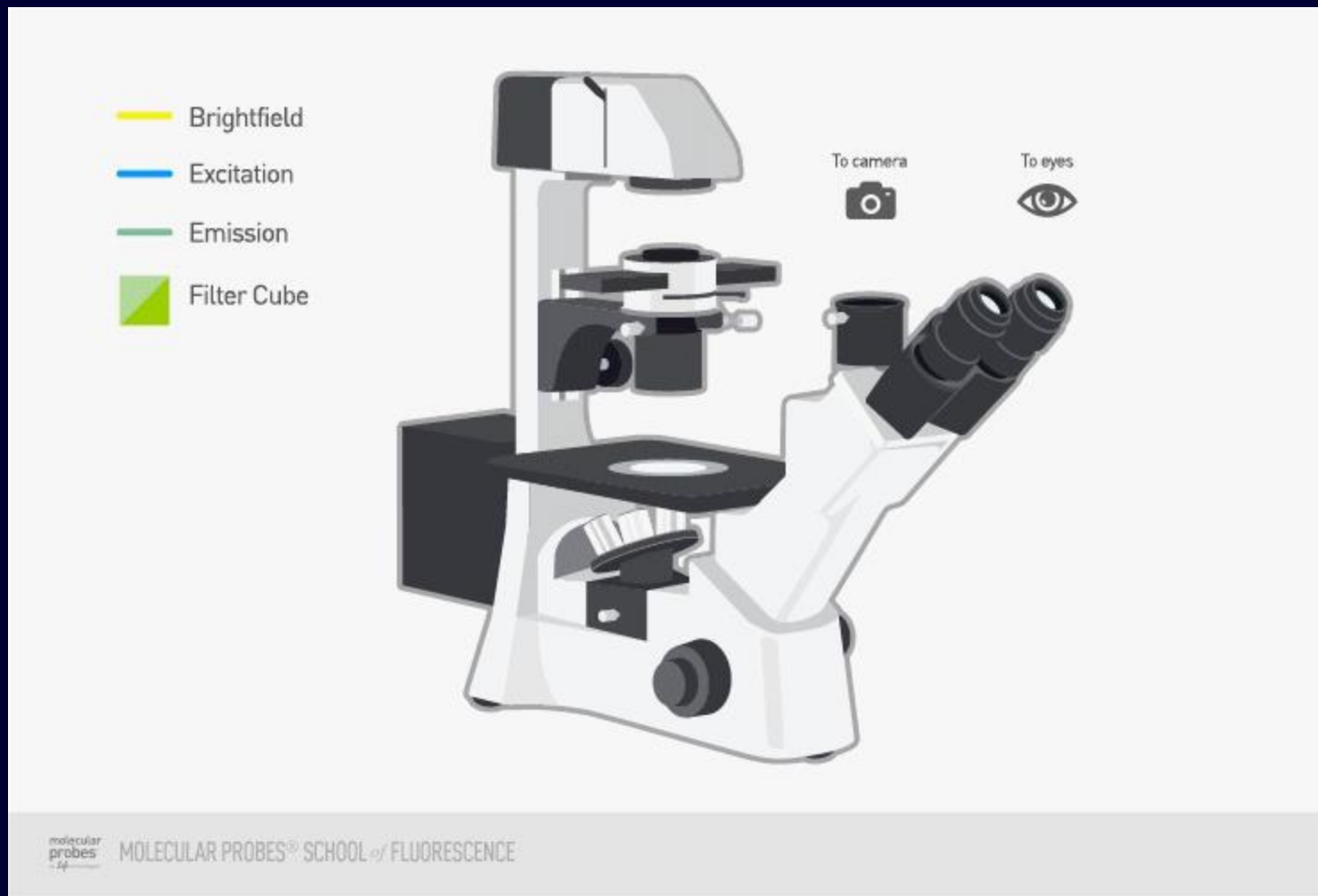


Invertovaný fluorescenční mikroskop

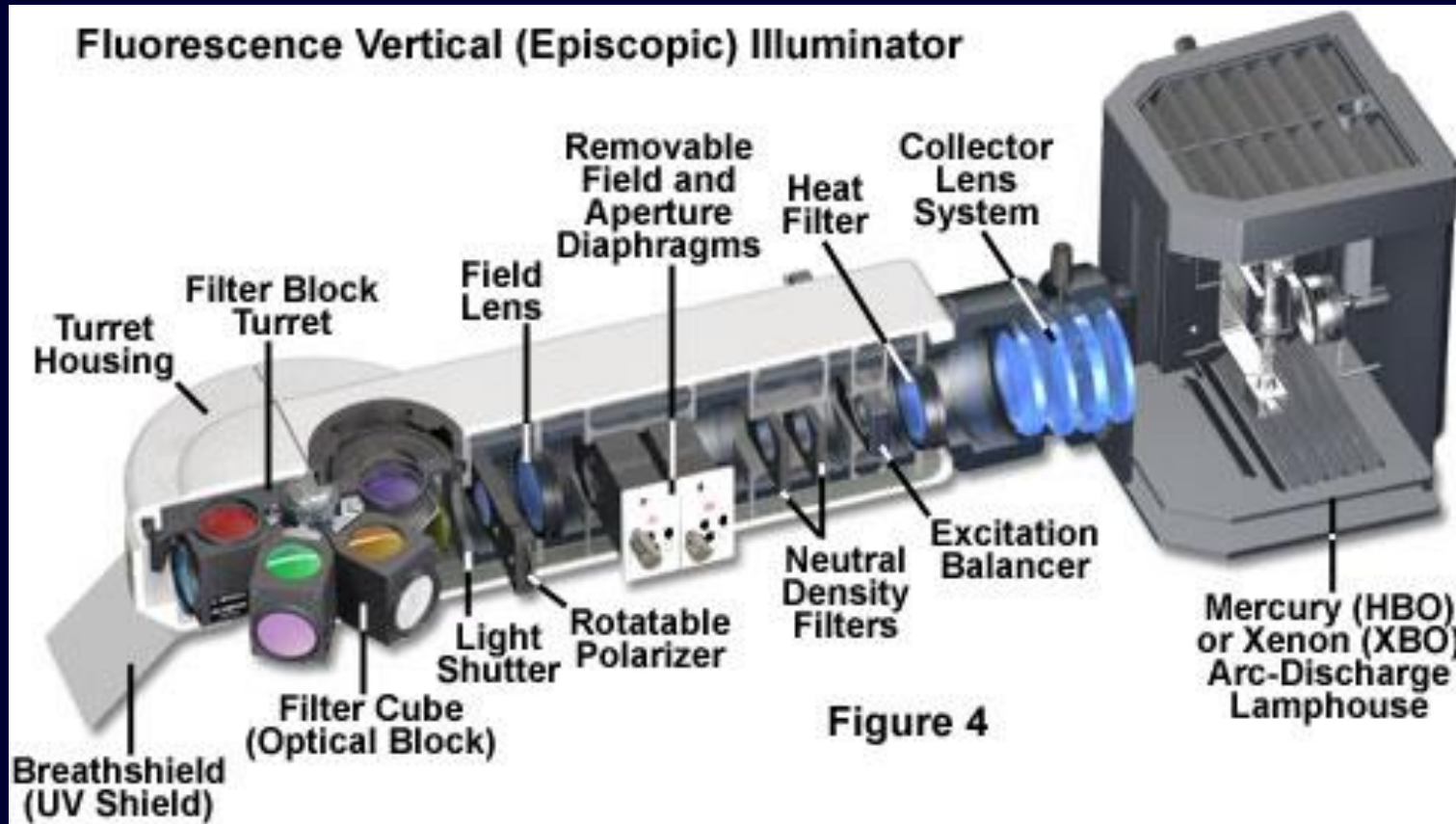
- práce s vysokým vzorkem (kultivační nádoby)



Invertovaný fluorescenční mikroskop



Fluorescenční nástavec (iluminátor)



Köhlerovo osvětlení pro odražené světlo (1893-4)

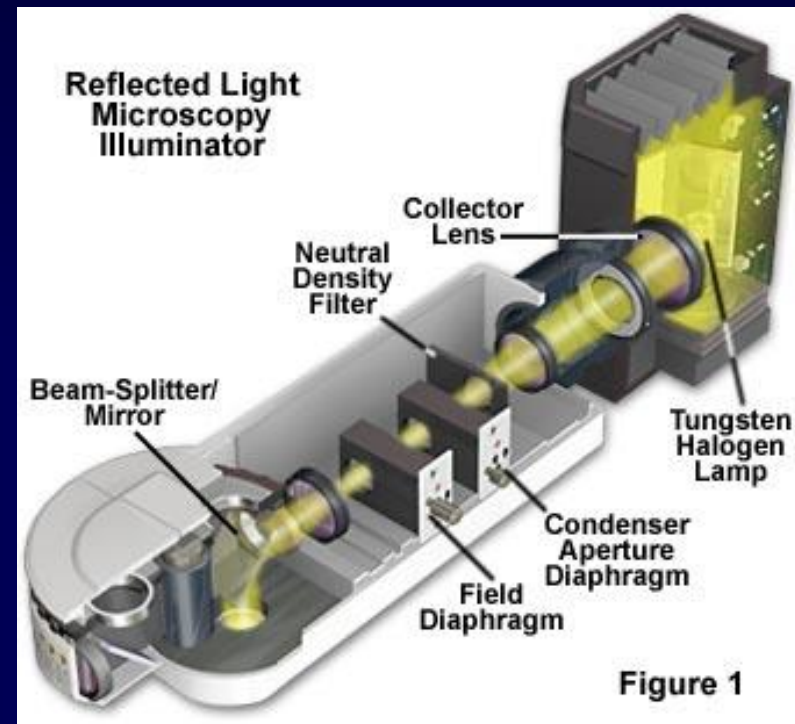
- uspořádání optické soustavy pro ideální osvětlení
- výsledek: světlo vyplní celý otvor objektivu

a) maximální osvětlení

zvýšení intenzity díky kolektorové čočce, zdroj světla blízko ohniska čočky

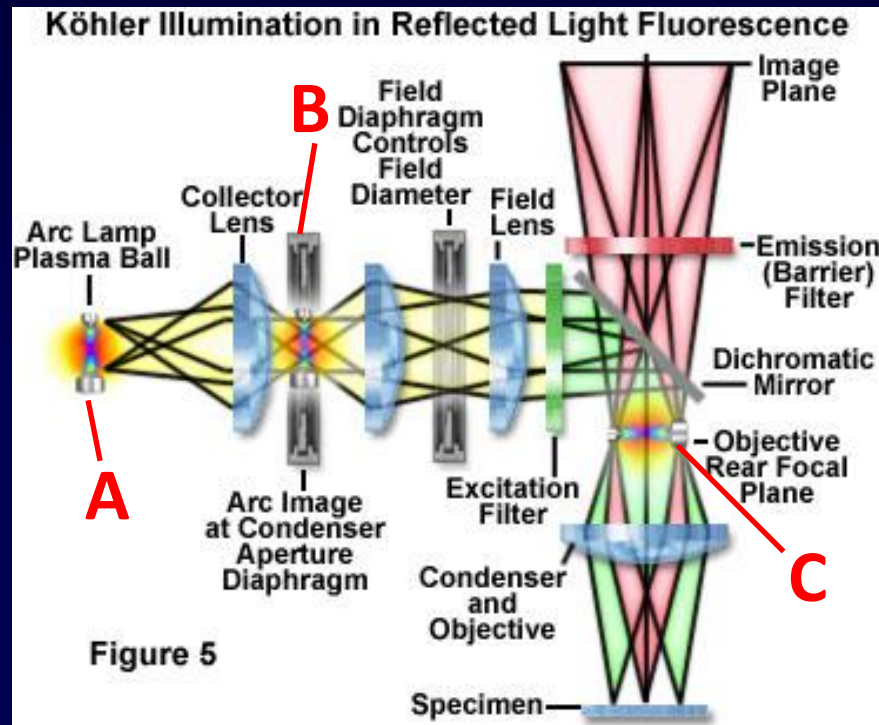
b) stejnoměrné osvětlení

filtry k redukci „hot-spots“
(místa s nadměrnou intenzitou)
nebo difuzní filtr



Osvětlení

- osvětlení je tvořeno 3 konjugovanými (stejně zaostřenými) rovinami
 - A) rovinou zdroje světla
 - B) rovinou aperturní clony fluorescenčního iluminátoru
 - C) zadní ohniskovou rovinou objektivu
- vypadává přítomnost kondenzoru
- osvětlení přichází z objektivu a je jím také odváděno
- intenzita a kontrast osvětlení jsou regulovaly jen aperturní clonou
- nemění se tím velikost osvětleného pole



Zobrazení

- zobrazení je tvořeno 3 konjugovanými rovinami
 - A) rovinou polní clony
 - B) rovinou zobrazovaného objektu
 - C) střední rovinou obrazu
- obraz zdroje světla je mimo rovinu zaostření -> stejnoměrné osvětlení
- polní clona reguluje změnu velikosti osvětlení pole
- nemění se tím intenzita osvětlení
- nastavení co nejmenší, aby nebyla vidět (x photobleaching)

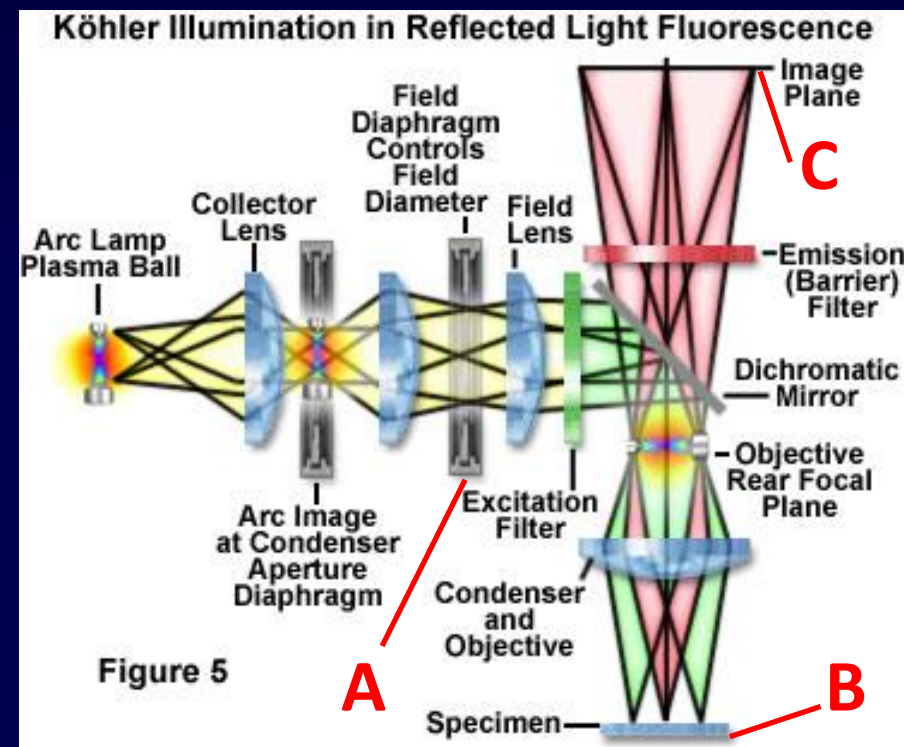
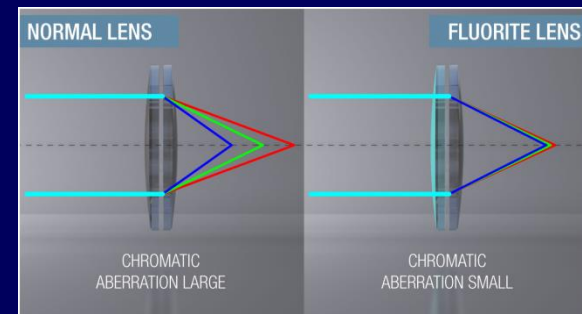
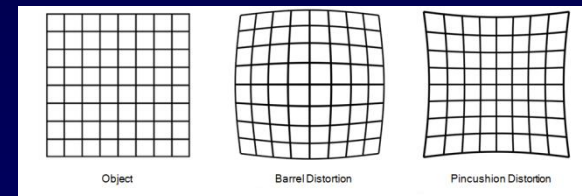
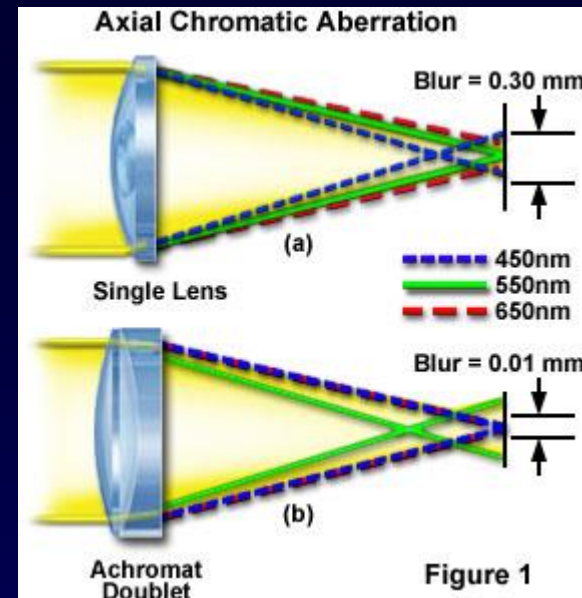


Figure 5

Typy objektivů

- **Achromáty** - jednoduché, složené ze 2 až 6 čoček; je u nich částečně korigovaná chromatická vada, červená a modrá je zaostřena stejně
- **Apochromáty** - korekce barevné vady pro tři základní barvy spektra, vyšší numerická apertura a lepší rozlišení detailů
- **Planachromáty** - barevně korigovány jako achromáty a korigováno i vyklenutí zorného pole (mikrofotografie)
- **Planapochromáty** - zcela odstraněno vyklenutí zorného pole i chromatická vada, patří k nejlepším a nejdražším objektivům
- **Fluoritové objektivy** - z fluoritového skla (vynikající optické vlastnosti), dobře propouští UV záření, vhodné pro fluorescenci, ale i pro pozorování ve světlém poli



Objektivy pro fluorescenční mikroskopii

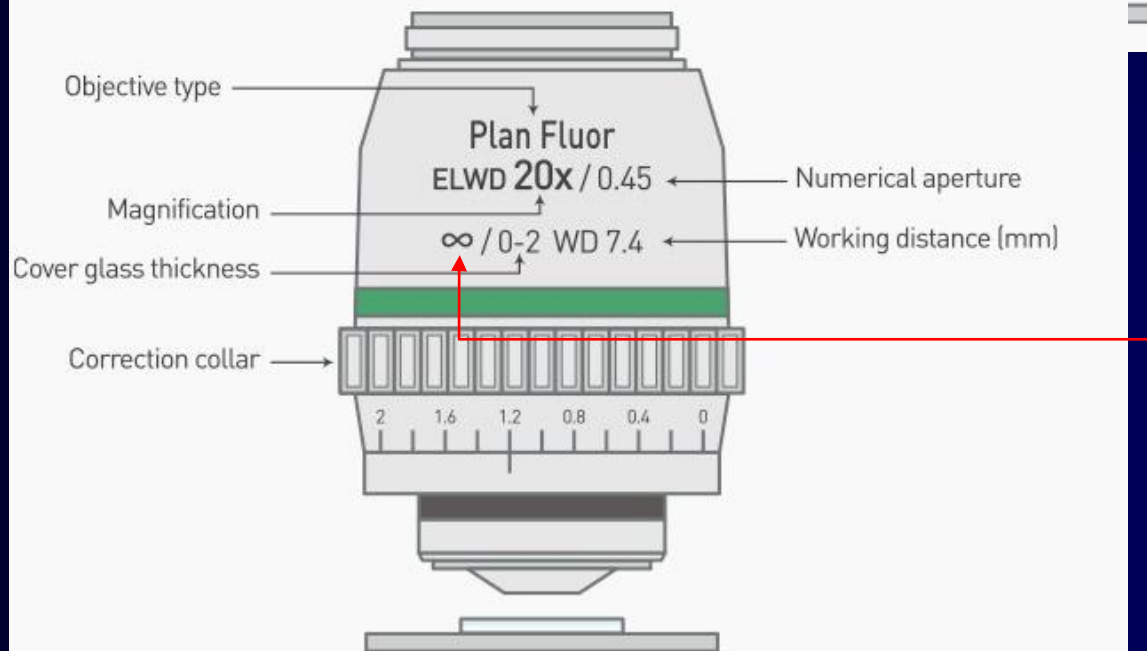
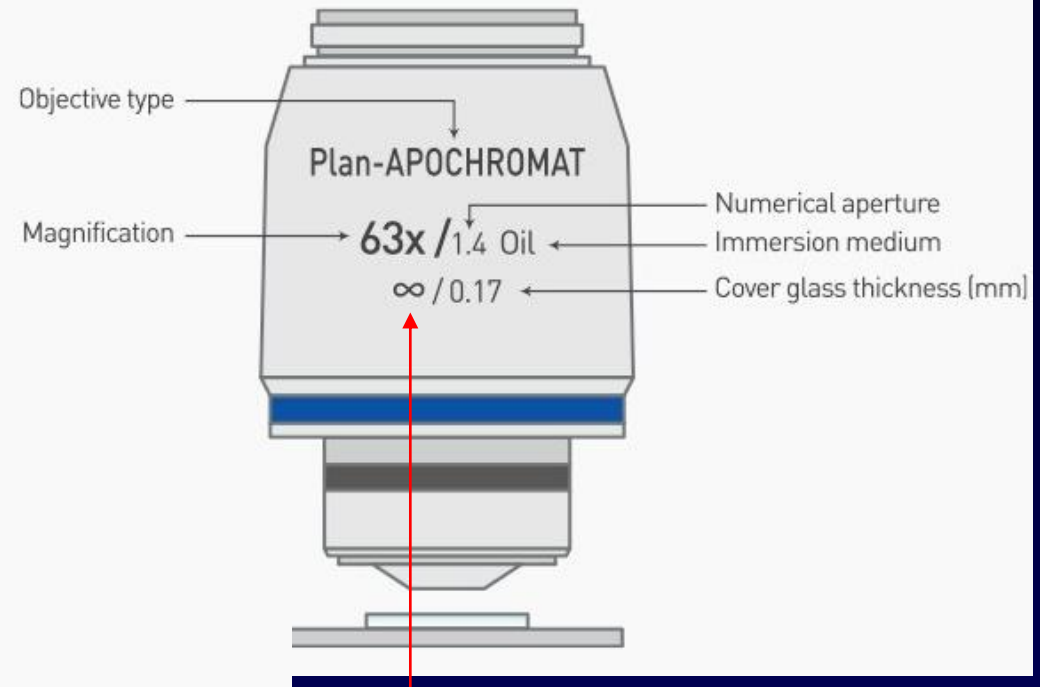
použití objektivů

- plan-fluoritových a plan-apochromatických objektivů
- NA =1,3-1,4 pro olejovou imerzi
- musí propouštět UV a VIS světlo
- sklo musí mít minimální autofluorescenci
- antireflexní vrstvy

intenzita fluorescence (jas)

- počet fotonů na jednotku plochy za čas
- u FM snímajících odražené světlo (z preparátu), závisí na numerické apertuře objektivu (NA) a zvětšení (M)
- Intenzita $\approx \text{NA}^4/\text{M}^2$

Popis objektivů



korekce na nekonečno:

světelné paprsky ze vzorku
vycházejí jako rovnoběžky
promítnuté do nekonečna

Numerická apertura

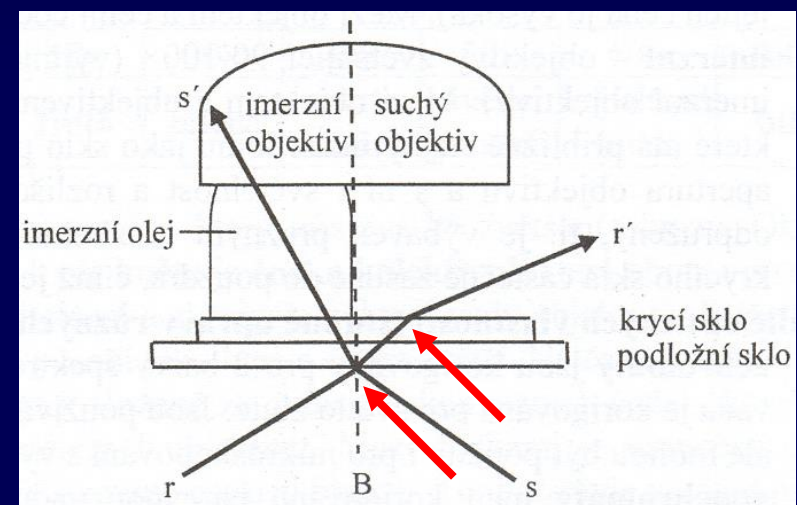
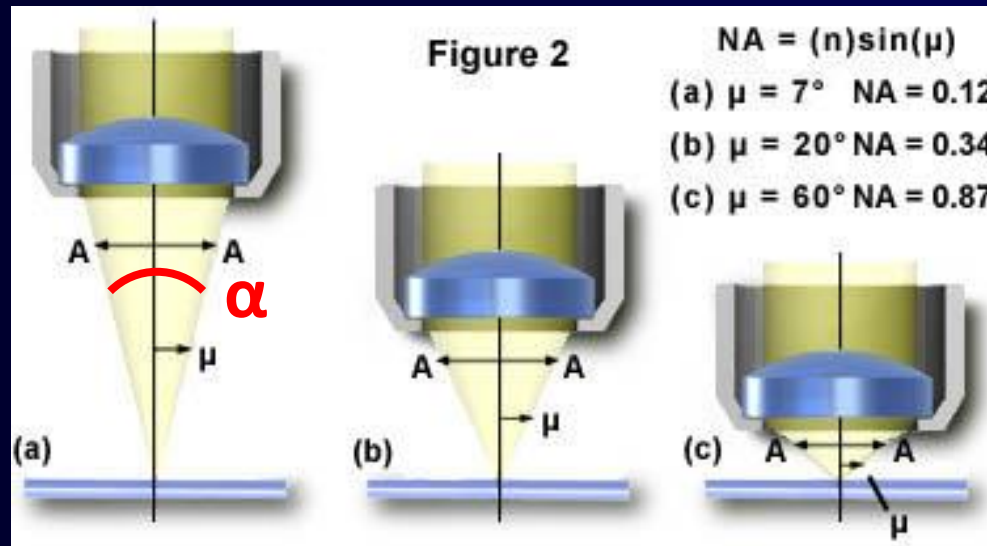
- udává světelnost objektivu

$$NA = n \cdot \sin \mu \quad (NA = n \cdot \sin \alpha/2)$$

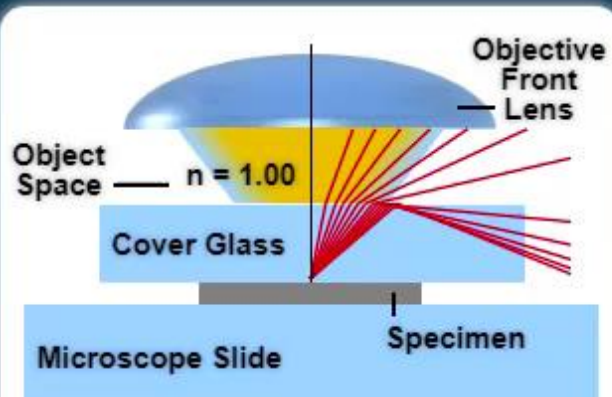
n - index lomu prostředí

μ - polovina tzv. **otvorového úhlu** (α)

Index lomu prostředí	
vzduch	(n = 1)
voda	(n = 1.33)
imerzní olej	(n = 1.51)



Immersion Oil and Refractive Index



$$\text{Numerical Aperture (NA)} = n \sin(\Theta)$$
$$NA = 1.00 \sin(65^\circ)$$
$$0.90 = 1.00 \sin(65^\circ)$$
$$\Theta = \text{Angular Aperture} = 65^\circ$$

n = Refractive Index

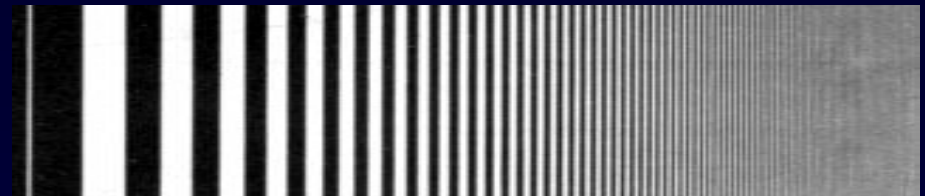


Low

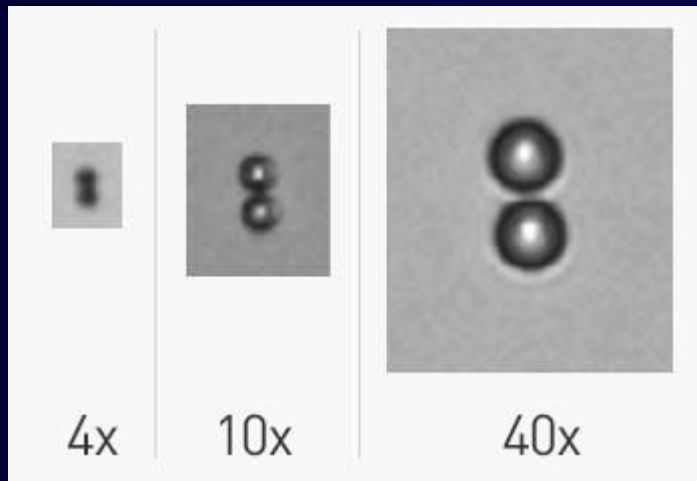
High

<https://www.olympus-lifescience.com/en/microscope-resource/primer/java/microscopy/immersion/>

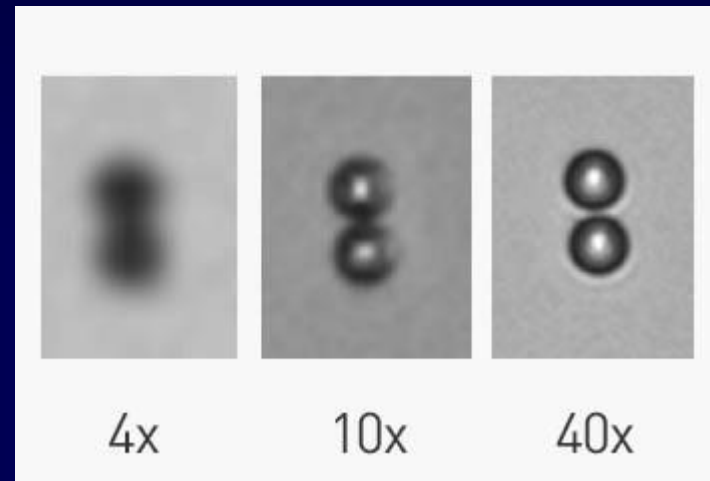
Rozlišovací schopnost



- nejmenší vzdálenost dvou bodů, které ještě vnímáme jako oddělené



Dva objekty (6 μm částice) při objektivech 4x, 10x, a 40x zv.



Totéž po srovnání velikosti obrázku

Rozlišovací schopnost

$$R = \lambda / 2NA$$

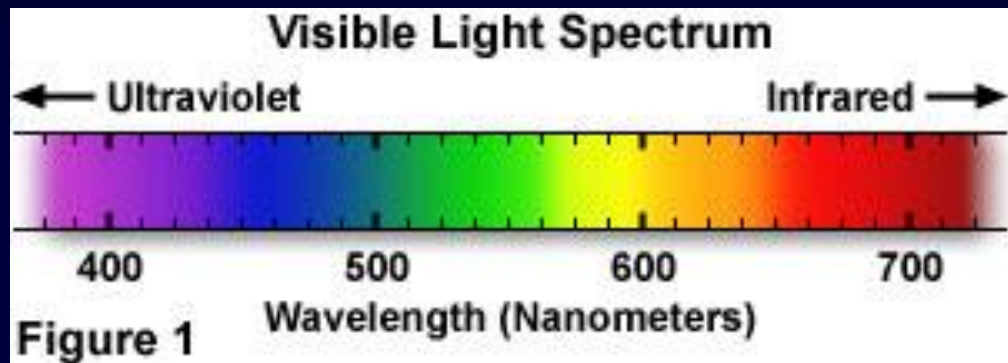
Srovnání rozlišovací schopnosti objektivů
při 550nm (zelená)

λ = vlnová délka

NA = $n \cdot \sin\mu$

OBJECTIVE TYPE						
	Plan Achromat		Plan Fluorite		Plan Apochromat	
Magnification	N.A.	Resolution (μm)	N.A.	Resolution (μm)	N.A.	Resolution (μm)
4x	0.10	2.75	0.13	2.12	0.20	1.375
10x	0.25	1.10	0.30	0.92	0.45	0.61
20x	0.40	0.69	0.50	0.55	0.75	0.37
40x	0.65	0.42	0.75	0.37	0.95	0.29
60x	0.75	0.37	0.85	0.32	0.95	0.29
100x	1.25	0.22	1.30	0.21	1.40	0.20
N.A. = Numerical Aperture						

Zdroje světla pro fluorescenční mikroskop



Wavelength Range (nanometers)	Perceived Color
340-400	Near Ultraviolet (UV; Invisible)
400-430	Violet
430-500	Blue
500-570	Green
570-620	Yellow to Orange
620-670	Bright Red
670-750	Dark Red
Over 750	Near Infrared (IR; Invisible)

Zdroje průchozího (bílého) světla

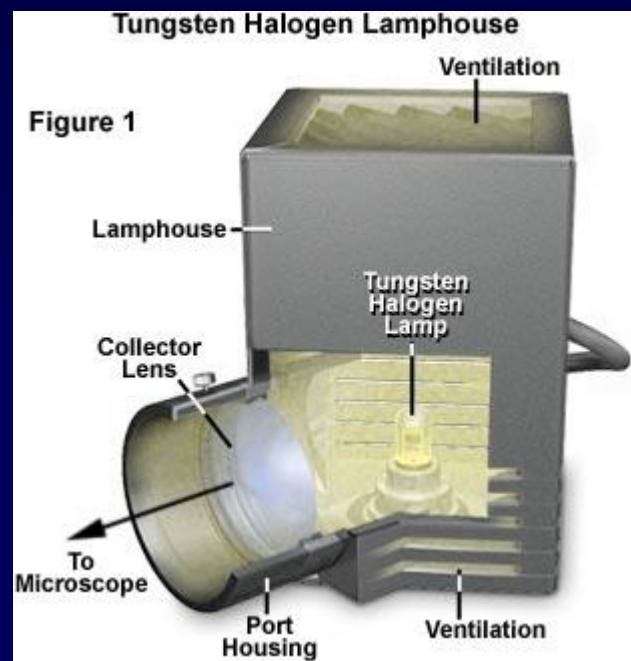
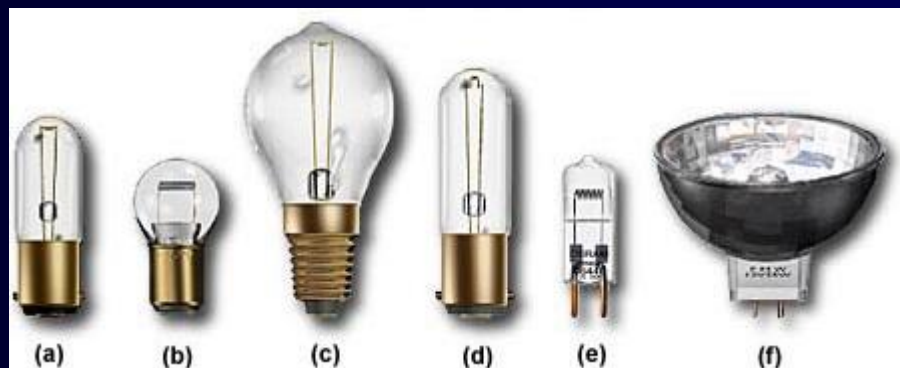
žárovky - el. proud rozžaví vlákno

wolframová žárovka

- 300-1400nm
- W vlákno ve vakuu nebo inertní atmosféře (Kr, Xe)
- na světlo se spotřebuje 5-10% energie (zbytek na teplo)
- vysoká teplota vlákna (až 2500°C při 100W)
- s časem klesá intenzita světla, černání

wolframovo-halogenové žárovky

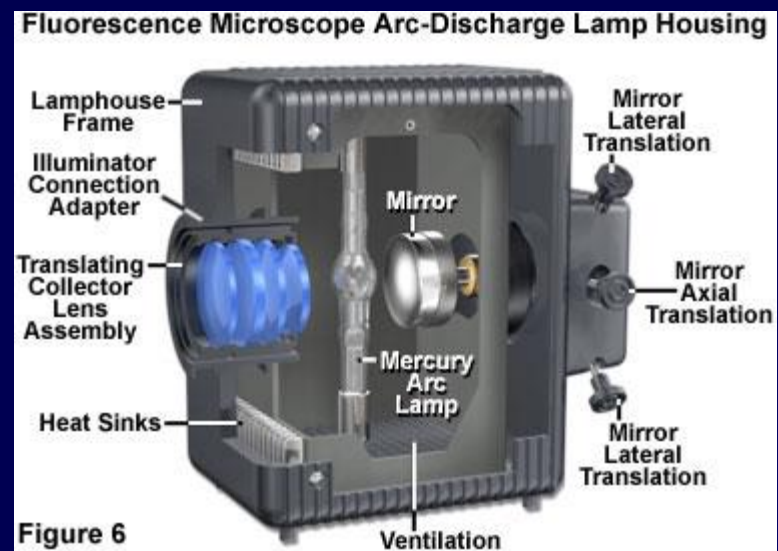
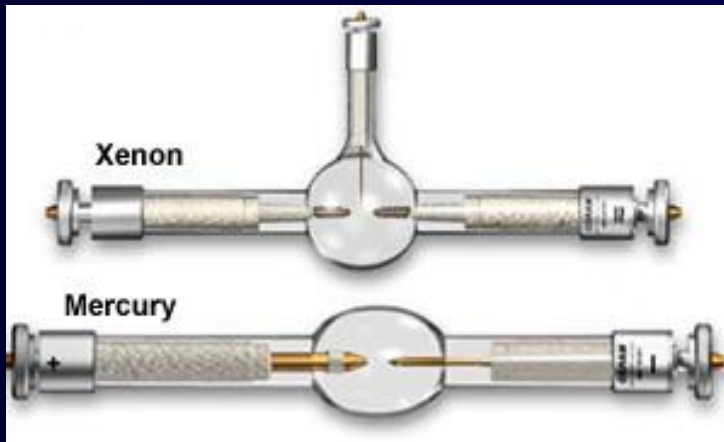
- v ochranné atmosféře přítomnost jódu nebo bromu
- vlákno má delší životnost



Zdroje světla pro fluorescenční mikroskop

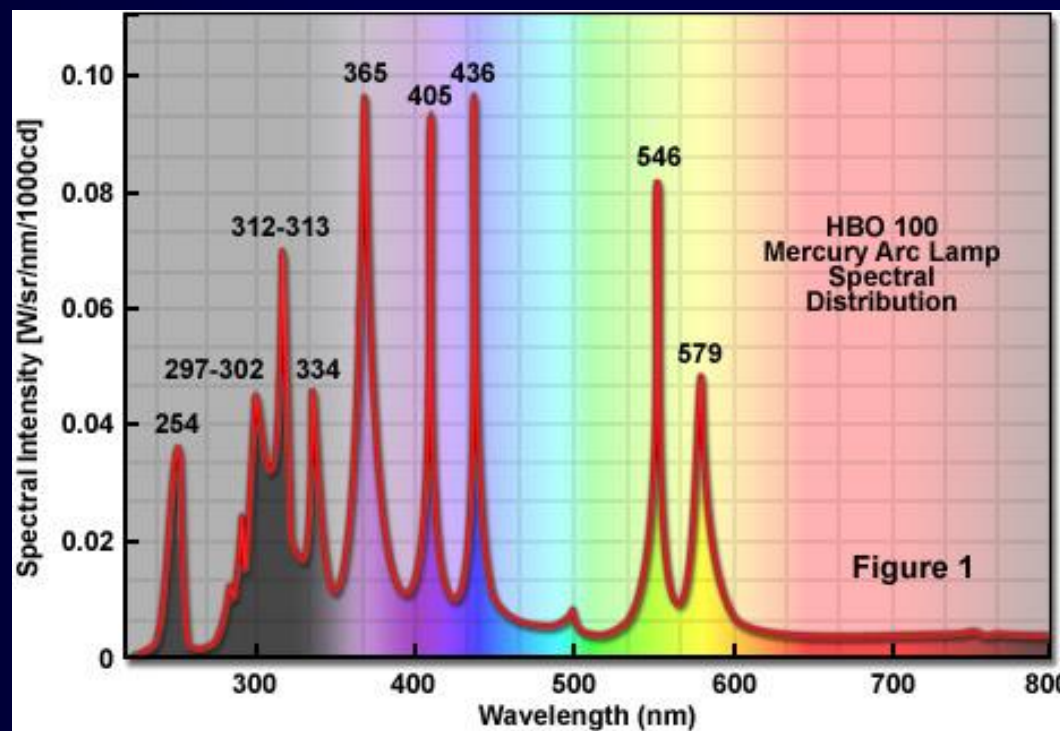
výbojky

- naplněná plynem pod vysokým tlakem (xenon, páry rtuti)
- obsahuje elektrody
- světlo vzniká ionizací plynu mezi elektrodami
- 10x-100x jasnější než žárovky
- připojeno počítadlo hodin



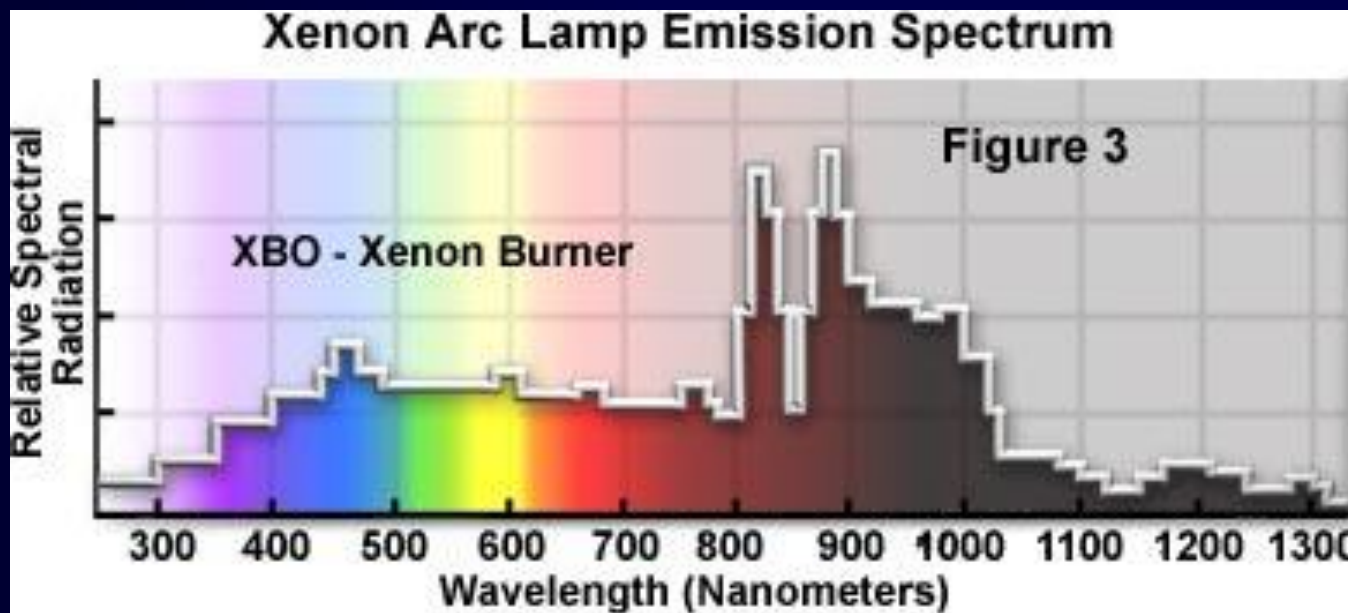
Rtuťová výbojka (HBO)

- obsahuje rtuťové páry
- neposkytuje souvislé spektrum
- emituje v několika úzkých pásmech
- UV, fialová, modrá, zelená, žlutá, oranžová
- životnost 200-400h



Xenonová výbojka (XBO)

- obsahuje xenon
- stejná intenzita ve viditelném spektru
- v UV nízká emise
- v IR vysoká emise -> přehřívání
- životnost 400-1200h



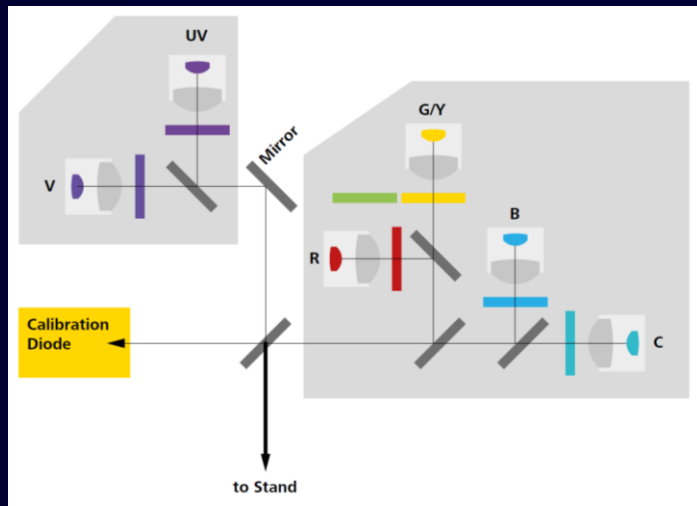
Zdroje světla pro fluorescenční mikroskop

LED – Light-Emitting Diode

- široké spektrum barev, včetně UV a far red
- různé konstrukce – svítí vše vs. jednotlivé LED
- často LED spojeny s filtry
- lze měnit intenzitu osvětlení
- životnost x1000-x10.000 hodin, časem neklesá výkon
- nízká produkce tepla
- nejsou citlivé na vypínání/zapínání

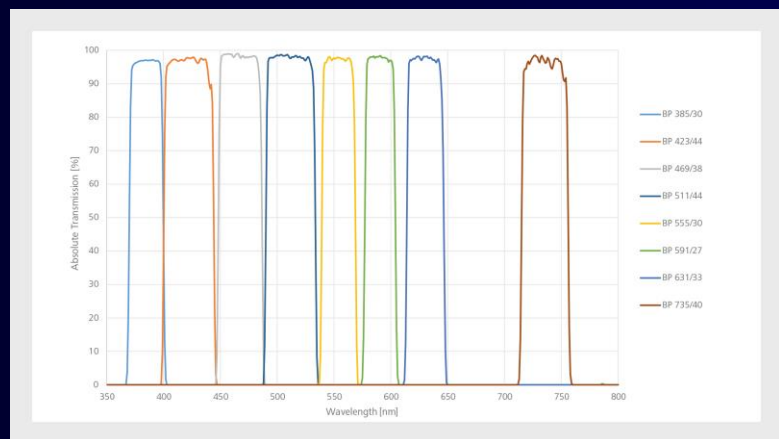
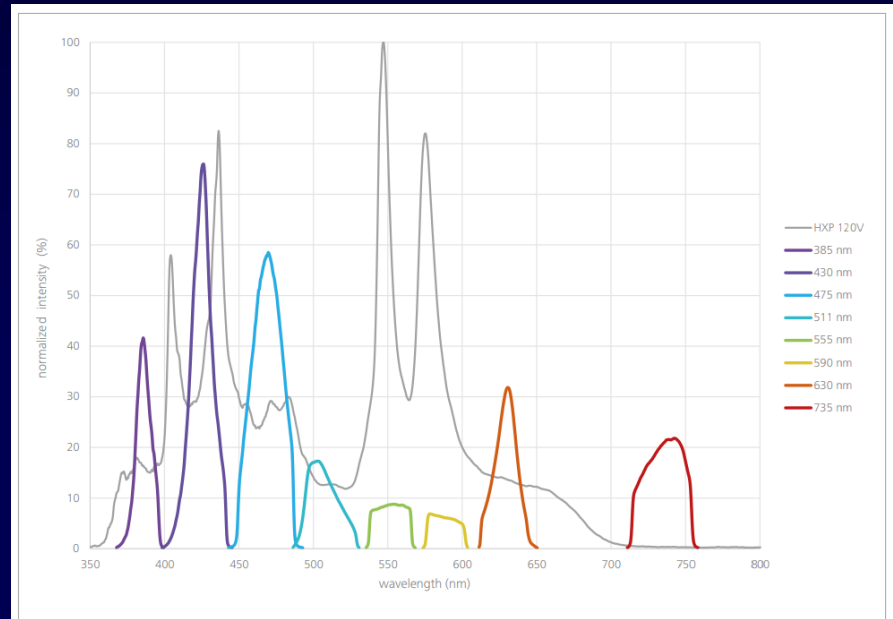


LED zdroje světla pro fluorescenční mikroskop



Rozložení diod

Srovnání LED zdroje s rtuťovou výbojkou

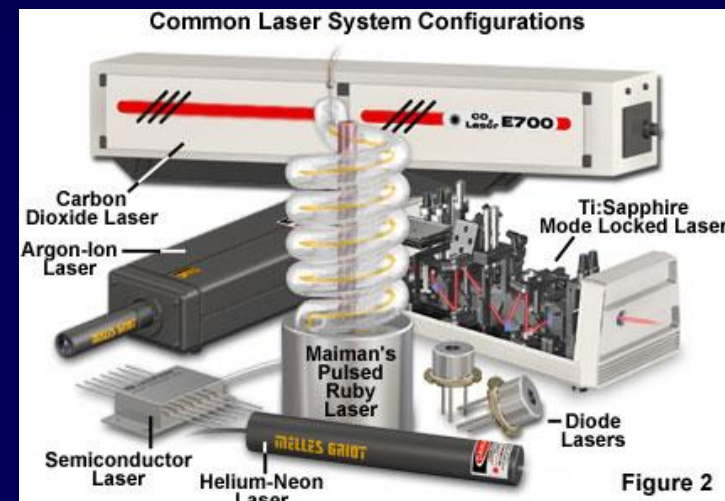
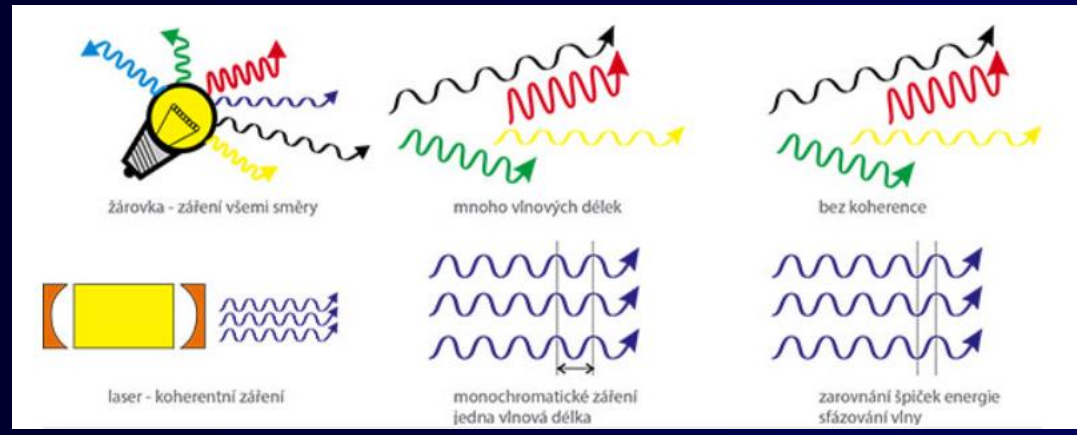


Uspořádání excitačních filtrů

Zdroje světla pro fluorescenční mikroskop

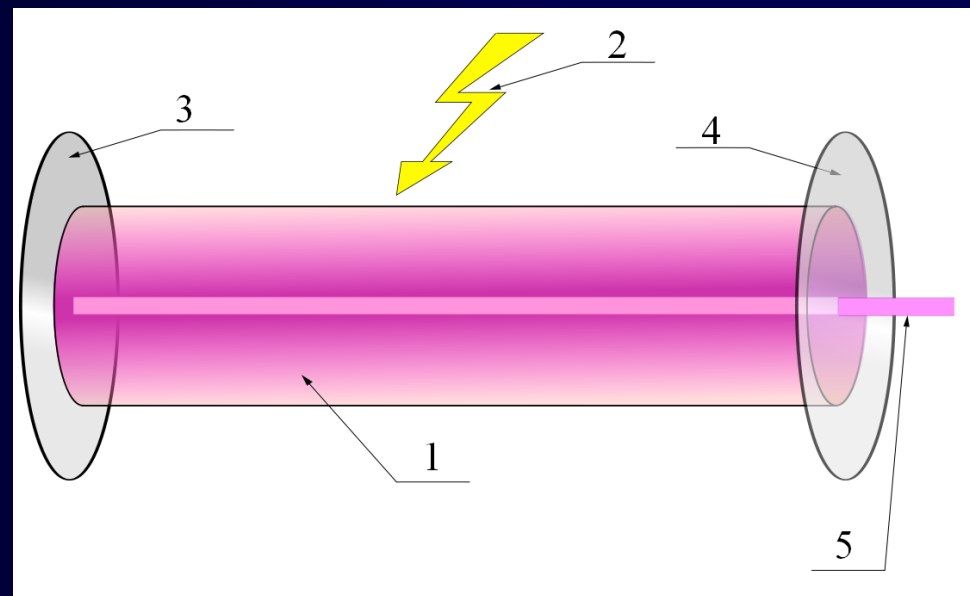
LASER - Light Amplification by the Stimulated Emission of Radiation

- emituje paprsek světla o určité vlnové délce (nebo několika délek)
- světlo je koherentní – má stejnou frekvenci, směr kmitání, fázi
- vlnová délka je specifická v závislosti na typu konstrukce a materiálu



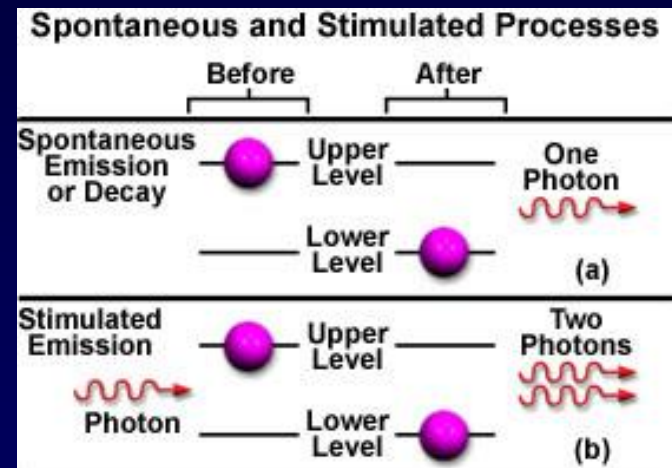
Konstrukce laseru:

1. aktivní prostředí v rezonátoru (různé skupenství - pevné, plyn, kapalina, plazma)
2. zdroj záření (elektrický proud, výbojka, chemické reakce..)
3. odrazené zrcadlo
4. polopropustné zrcadlo
5. laserový paprsek

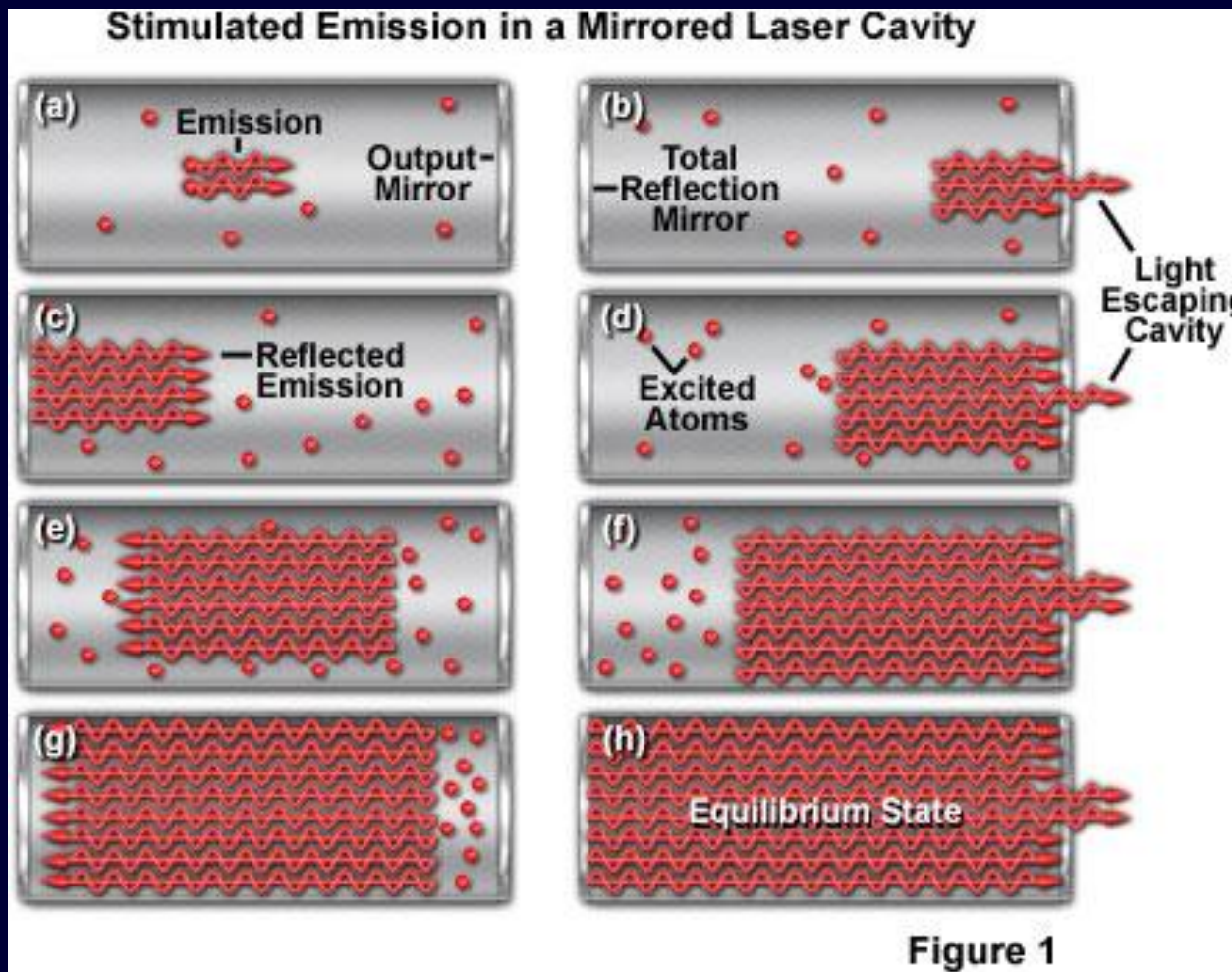


Princip laseru

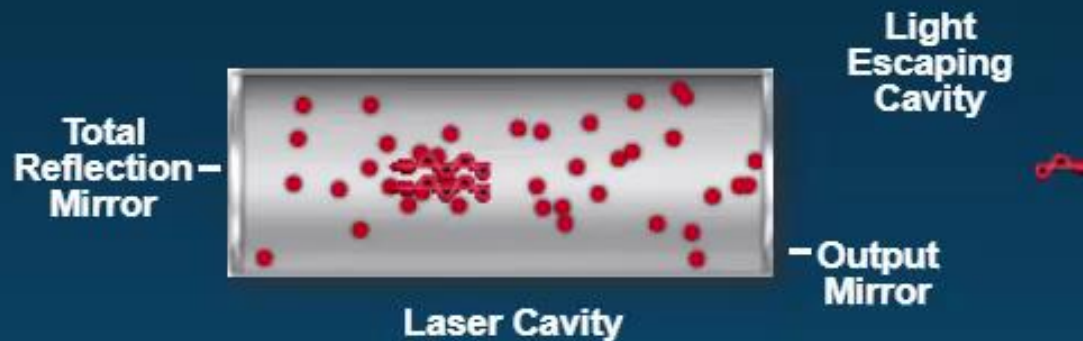
- zdroj energie vybudí elektrony aktivního prostředí ze základní energetické hladiny do vyšší energetické hladiny -> **excitace**
- postupná excitace většiny elektronů aktivního prostředí
- při přestupu elektronu na nižší hladinu dojde k **emisi** fotonů
- fotony interagují s dalšími excitovanými elektrony, spouštějí **stimulovanou emisi** fotonů
- emitované fotony mají stejnou frekvenci a fázi
- mezi zrcadly (v **rezonátoru**) dochází k odrazu paprsku fotonů a jeho opětovnému průchodu prostředím -> zesilování toku fotonů
- paprsek opouští tělo laseru průchodem skrze polopropustné zrcadlo



Stimulovaná emise



Stimulated Emission in a Laser Cavity



Applet Speed: Slow

Reset

<https://micro.magnet.fsu.edu/primer/java/lasers/heliumneonlaser/index.html>

Nejčastěji používané lasery

využití - konfokální mikroskopie

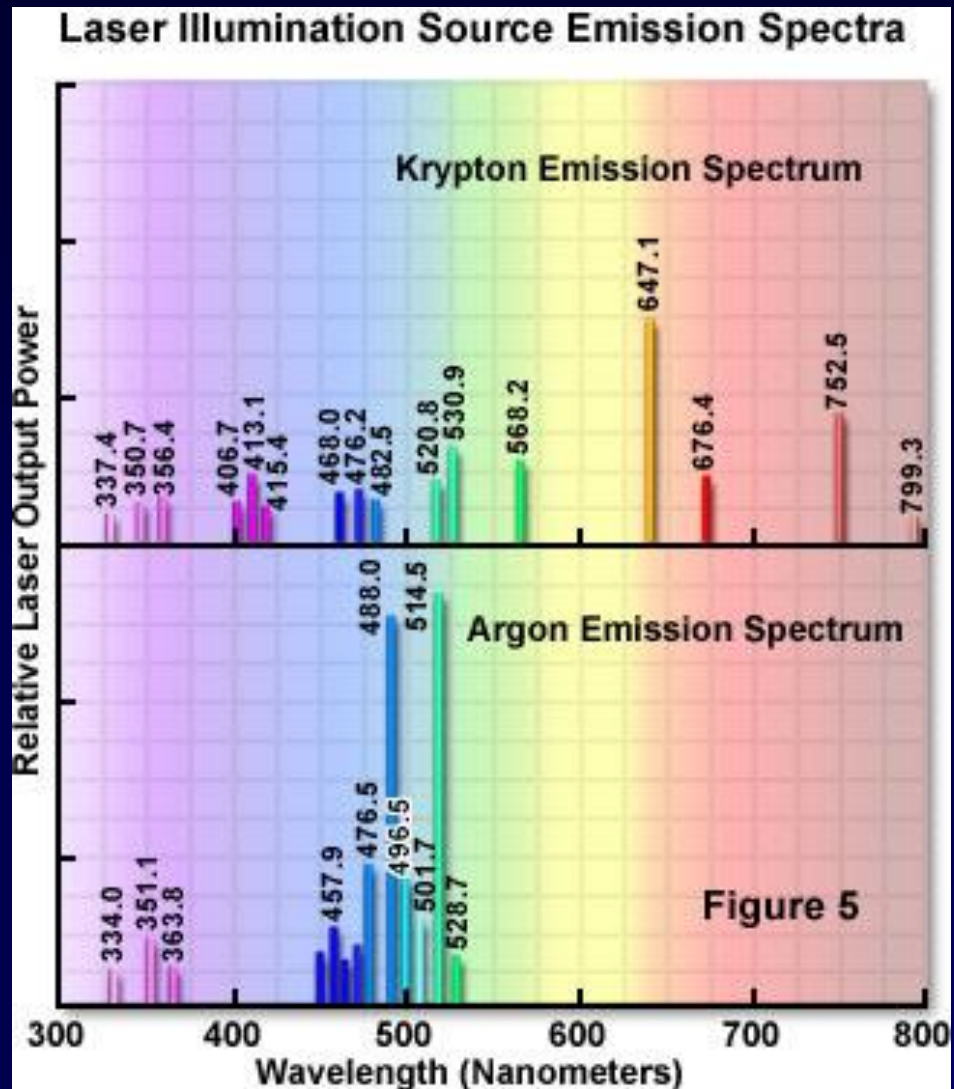
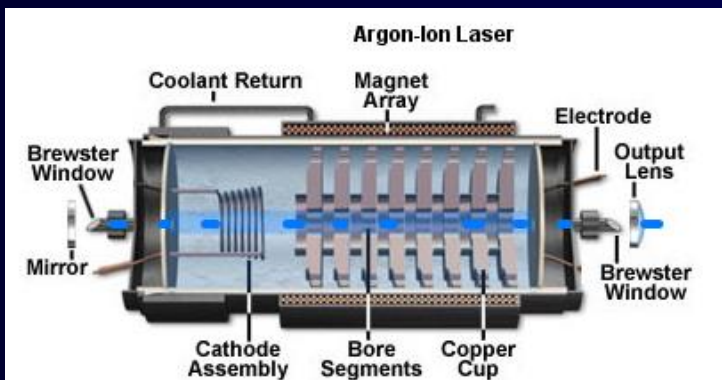
Kryptonový laser

emituje v UV i VIS (647 nm)

Argonový laser

emituje v UV i VIS (488 a 514 nm)

He-Ne, He-Cd ...

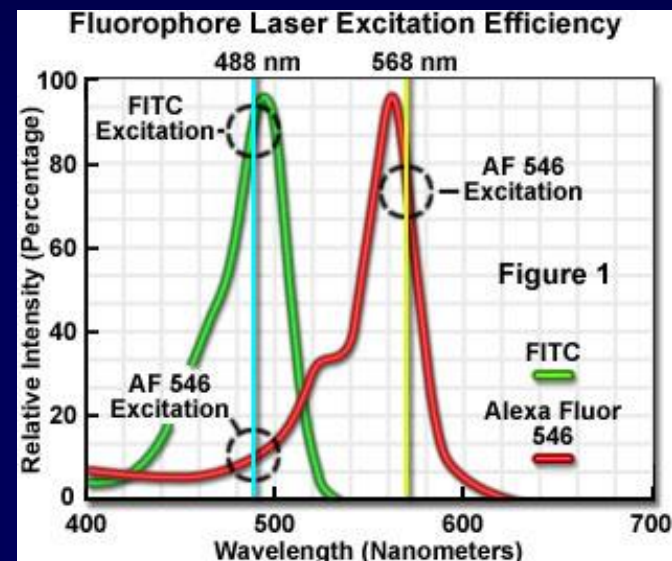


Output Wavelengths of Common Lasers

Laser Type (Spectral Region)	Wavelength(s) (Nanometers)
Argon Fluoride Excimer (UV)	193
Krypton Chloride Excimer (UV)	222
Krypton Fluoride Excimer (UV)	248
Xenon Chloride Excimer (UV)	308
Xenon Fluoride Excimer (UV)	351
Helium Cadmium (UV, Visible)	325, 442
Nitrogen (UV)	337
Krypton (Visible)	476, 528, 568, 647
Argon (Visible)	488, 514
Copper Vapor (Visible)	510, 578
Nd:YAG Frequency Doubled (Visible)	532
Helium Neon (Visible, Near IR)	543, 594, 612, 633, 1150, 3390
Gold Vapor (Visible)	628
Rhodamine 6G Dye (Visible, Tunable)	570-650
Ruby (Visible)	694
Diode Semiconductor (Visible, Near IR)	630-1600
Ti:Sapphire (Visible - Near IR)	680-1130
Nd:YAG (Near IR)	1064
Erbium (Near IR)	1540
Hydrogen Fluoride (Near IR)	2600-3000
Carbon Dioxide (Far IR)	9600, 10600

Další užívané lasery
ve fluorescenční
mikroskopii

Laser vs. fluorochrom



Filtry ve fluorescenční mikroskopii

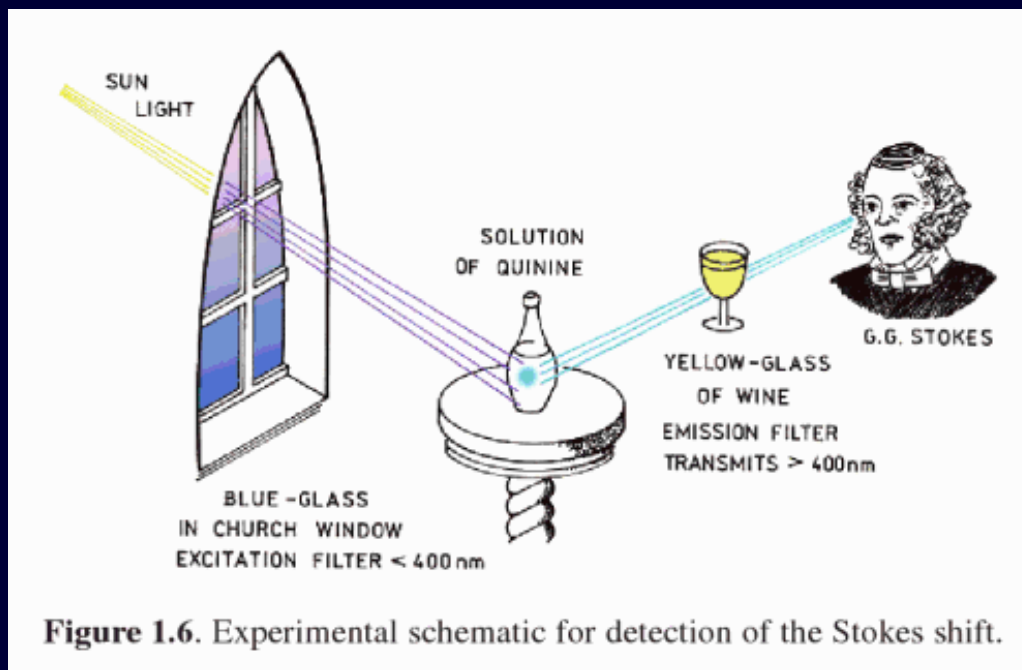


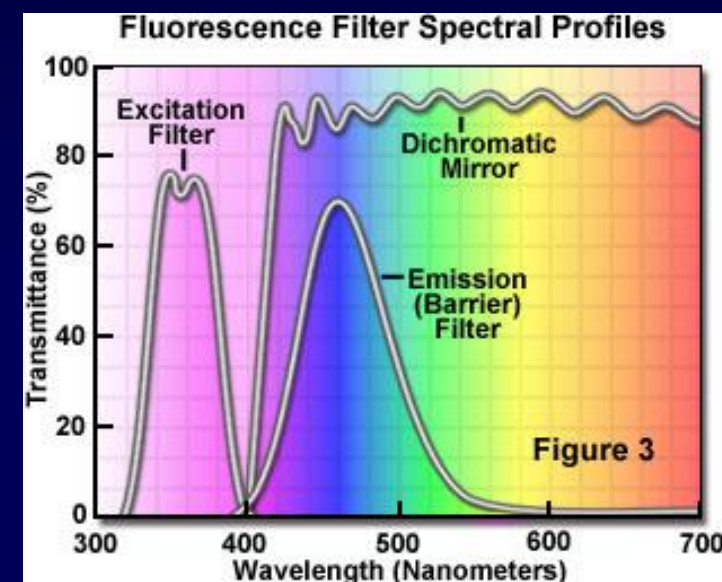
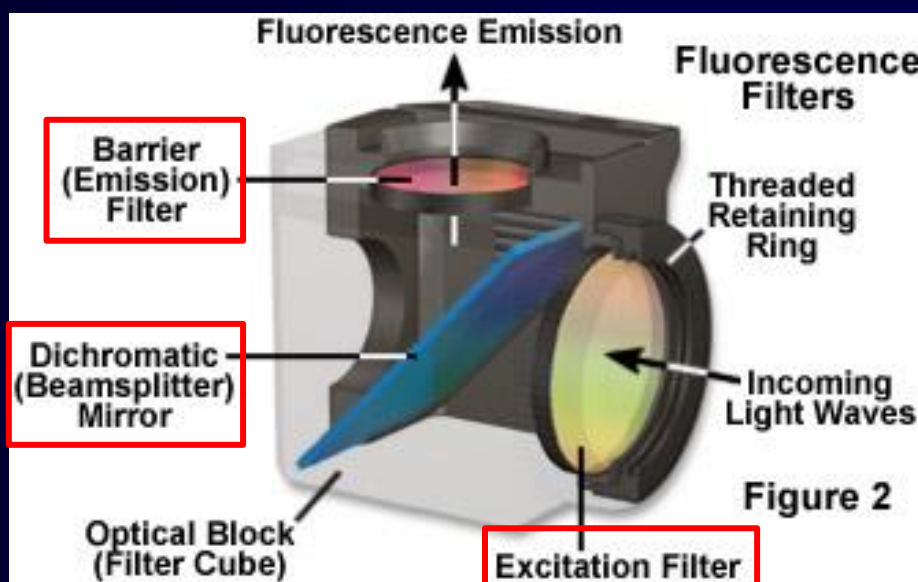
Figure 1.6. Experimental schematic for detection of the Stokes shift.

excitační filtr – propouští takové světlo, které je schopno vyvolat excitaci s následnou emisí u daného fluoroforu

emisní (bariérový) filtr – propouští světlo, které je emitováno fluoroforem

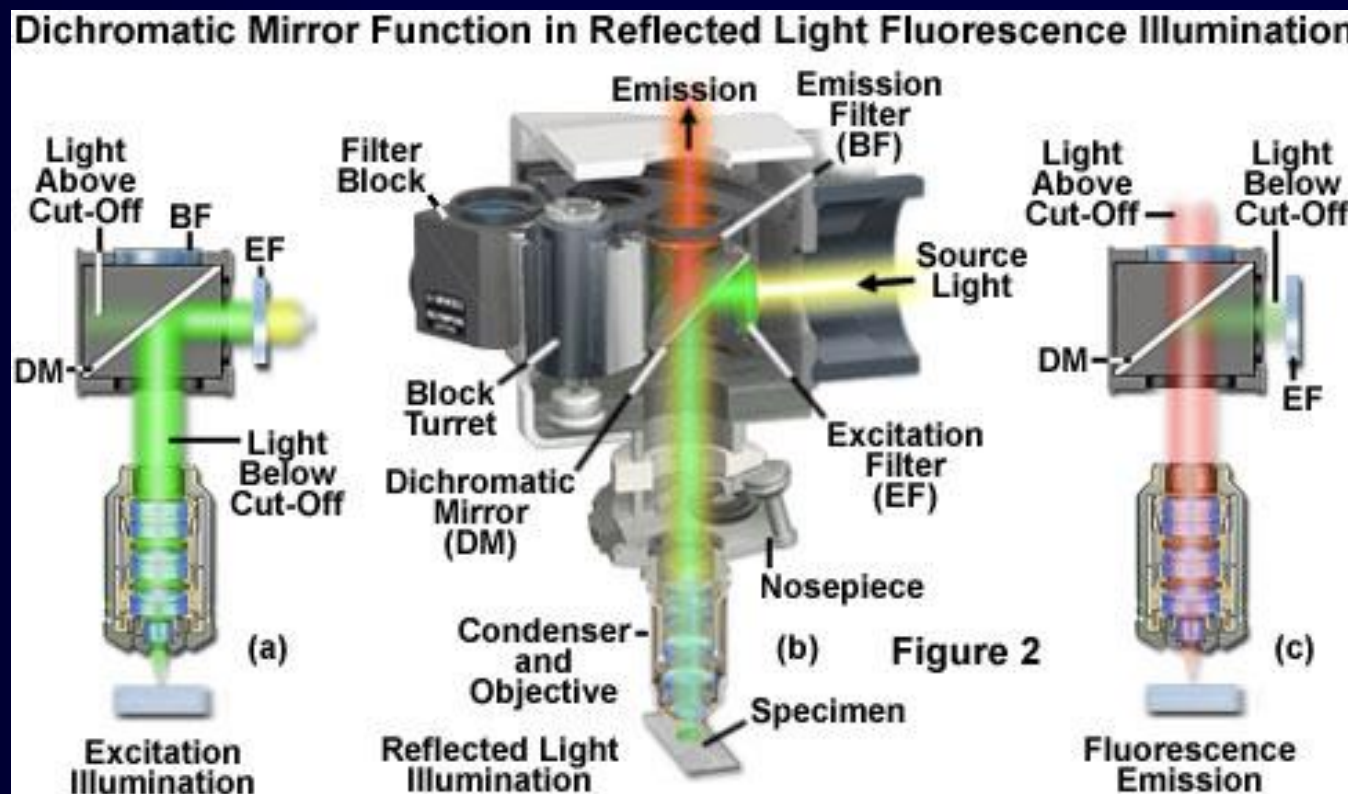
Standardní FM obsahuje 3 typy filtrů v optické dráze uloženy v bloku (kostce) – důležitá orientace

- excitační filtr
- dichromatické (dichroické) zrcátko (= beamsplitter)
- emisní filtr

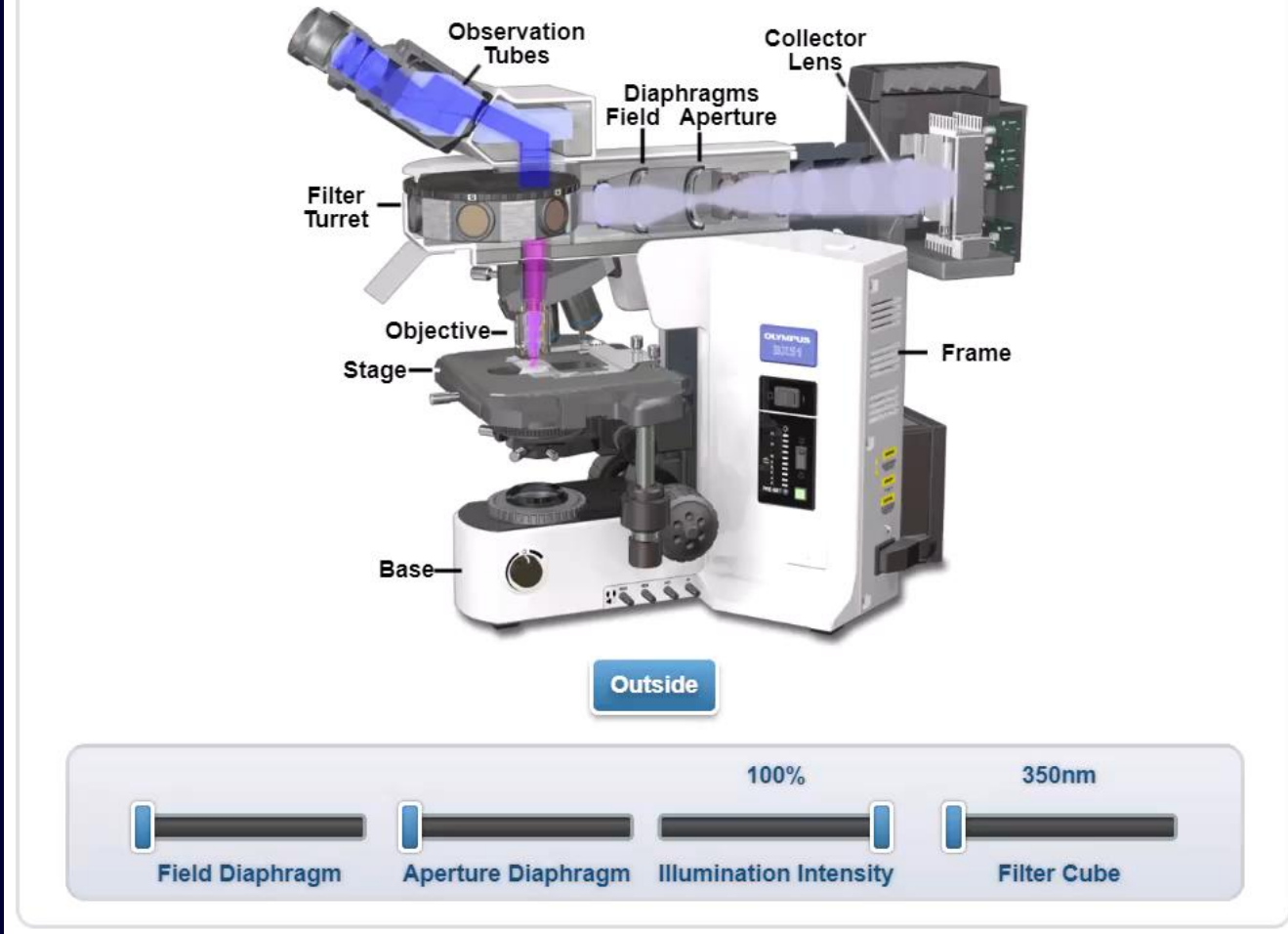


Funkce dichromatického zrcátka

- u mikroskopů s odrazem fluorescence
- odráží excitační záření
- propouští emisní žáření
- sklon 45° k excitačnímu i emisnímu filtru

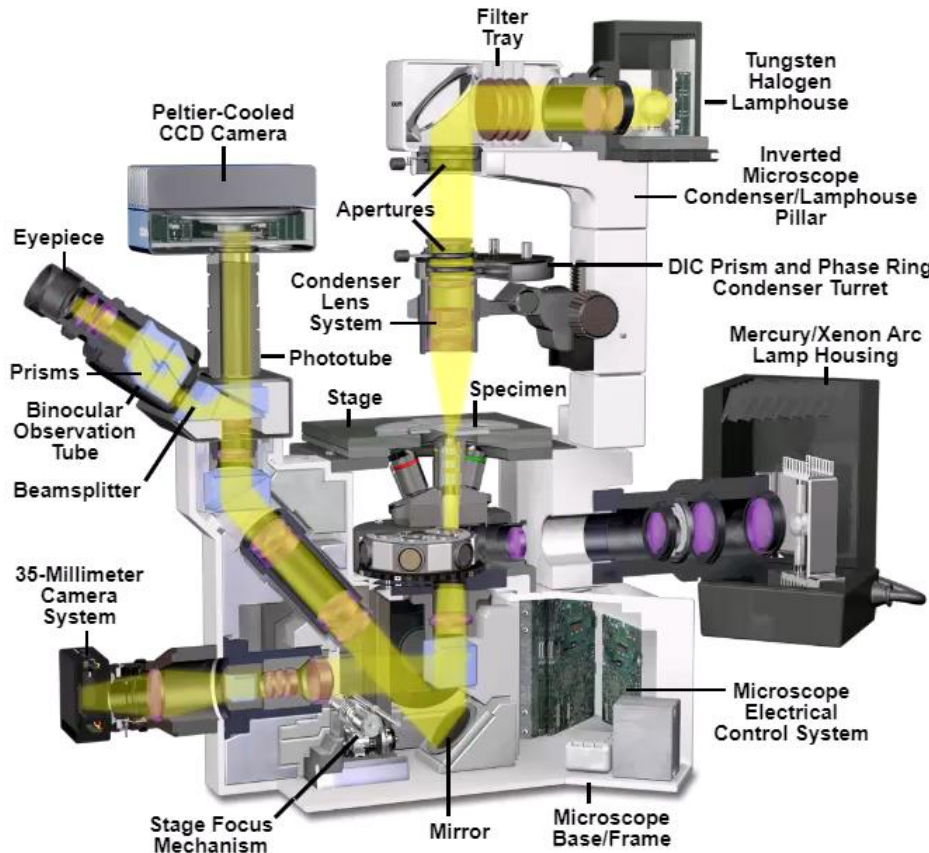


Reflected Light Fluorescence Microscopy Light Pathways



<https://micro.magnet.fsu.edu/primer/java/lightpaths/fluorescence/index.html>

Olympus IX70 Inverted Microscope Light Pathways



Illumination Modes

EPI

Transmission

Beam Intensity

35mm Camera

Filter Cube

CCD Camera

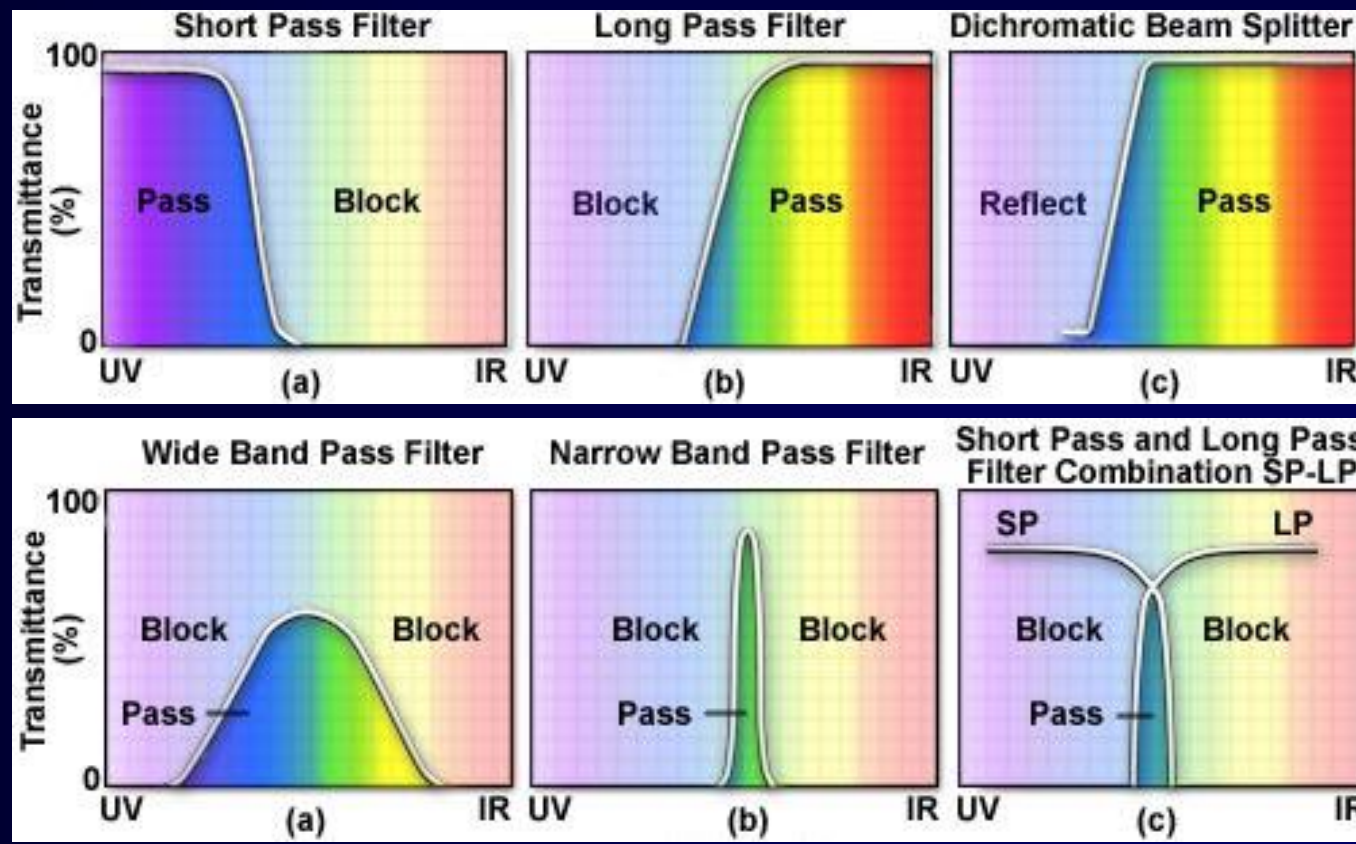
Excitation

<https://micro.magnet.fsu.edu/primer/java/lightpaths/ix70fluorescence/index.html>

MUNI
SCI

rozdělení filtrů dle šířky propouštěného spektra

- short pass – propouští kratší vlnové délky než je určitá hodnota
- long pass – propouští delší vlnové délky než je určitá hodnota
- wide band pass – omezen z obou stran spektra
- narrow band pass – omezen na úzké rozmezí vlnové délky

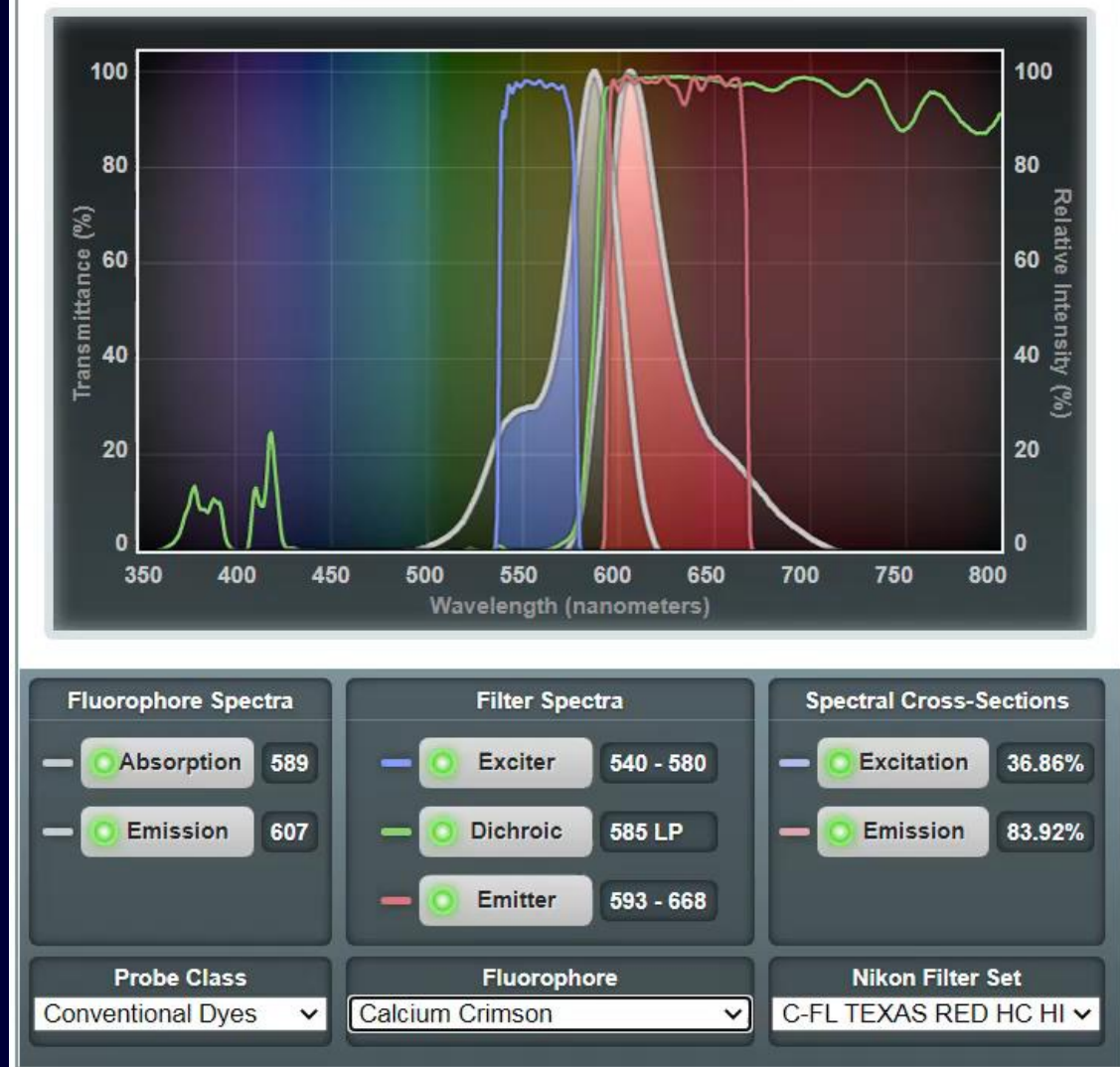


Základní typy kostek – Olympus/Evident

Excitation	Cube	Excitation Filter (nm)	Dichroic Mirror (nm)	Barrier Filter
U	U-MWU	330-385	400	420--
U	U-MNU	360-370	400	420--
U	U-MNUBP	360-370	400	420-460
V	U-MNV	400-410	455	455--
BV	U-MWBV	400-440	455	475--
BV	U-MNBV	420-440	455	475--
B	U-MWB	450-480	500	515--
IB	U-MWIB	460-490	505	515IF--
IB	U-MNIB	470-490	505	515IF--
IB	U-MNIBBP	470-490	505	515-550
IB	U-MWIBBP	460-490	505	515-550
G	U-MSWG	480-550	570	590--
G	U-MWG	510-550	570	590--
G	U-MNG	530-550	570	590--
IG	U-MNIG	520-550	565	580IF--
Y	U-MWIY	545-580	600	610IF--

Filter Color Codes	
Code	Filter Type
U	Ultraviolet
V	Violet
BV	Blue-Violet
B	Blue
IB	Interference Blue Filter
G	Green
IG	Immuno Gold Staining Method
BF	Brightfield, Phase Contrast, and DIC only

Spectral Profiles



NIKON

<http://www.microscopyu.com/tutorials/flash/spectralprofiles/index.html>

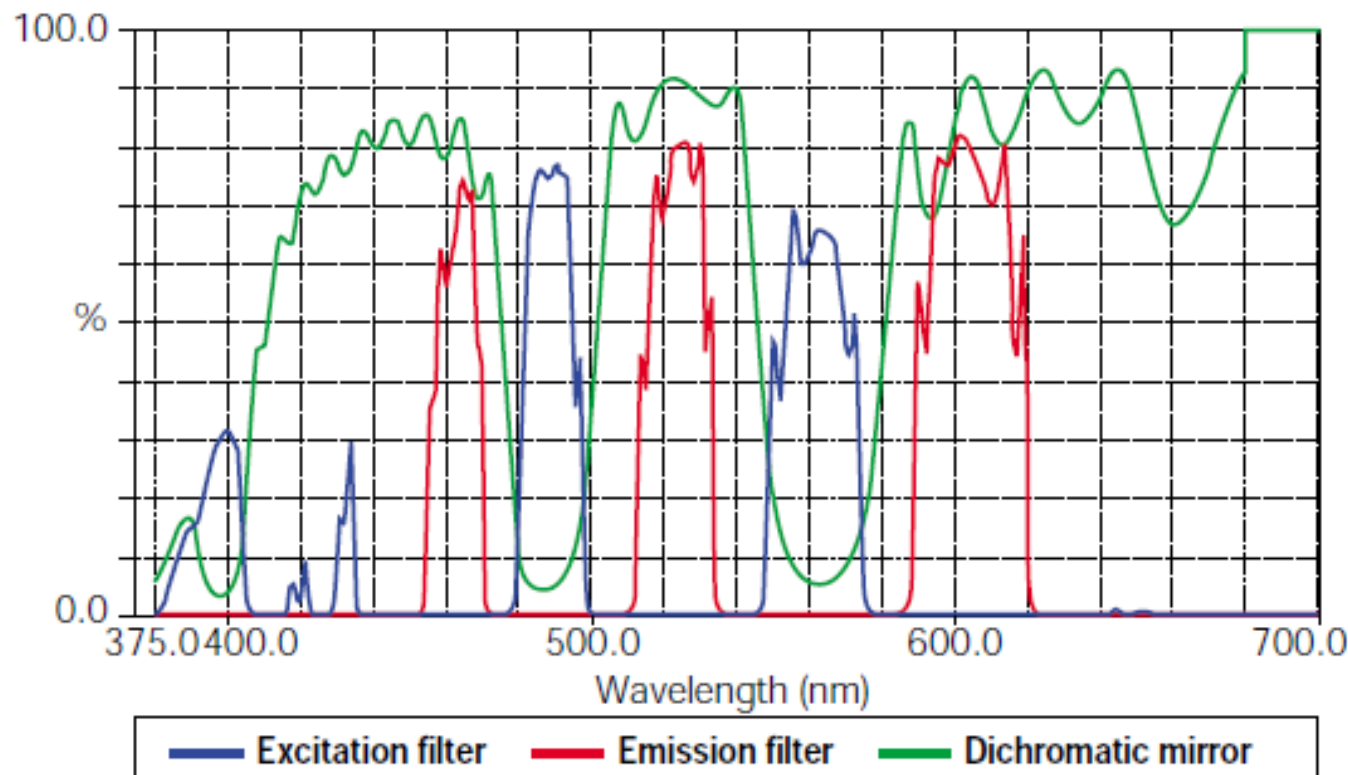
MUNI
SCI

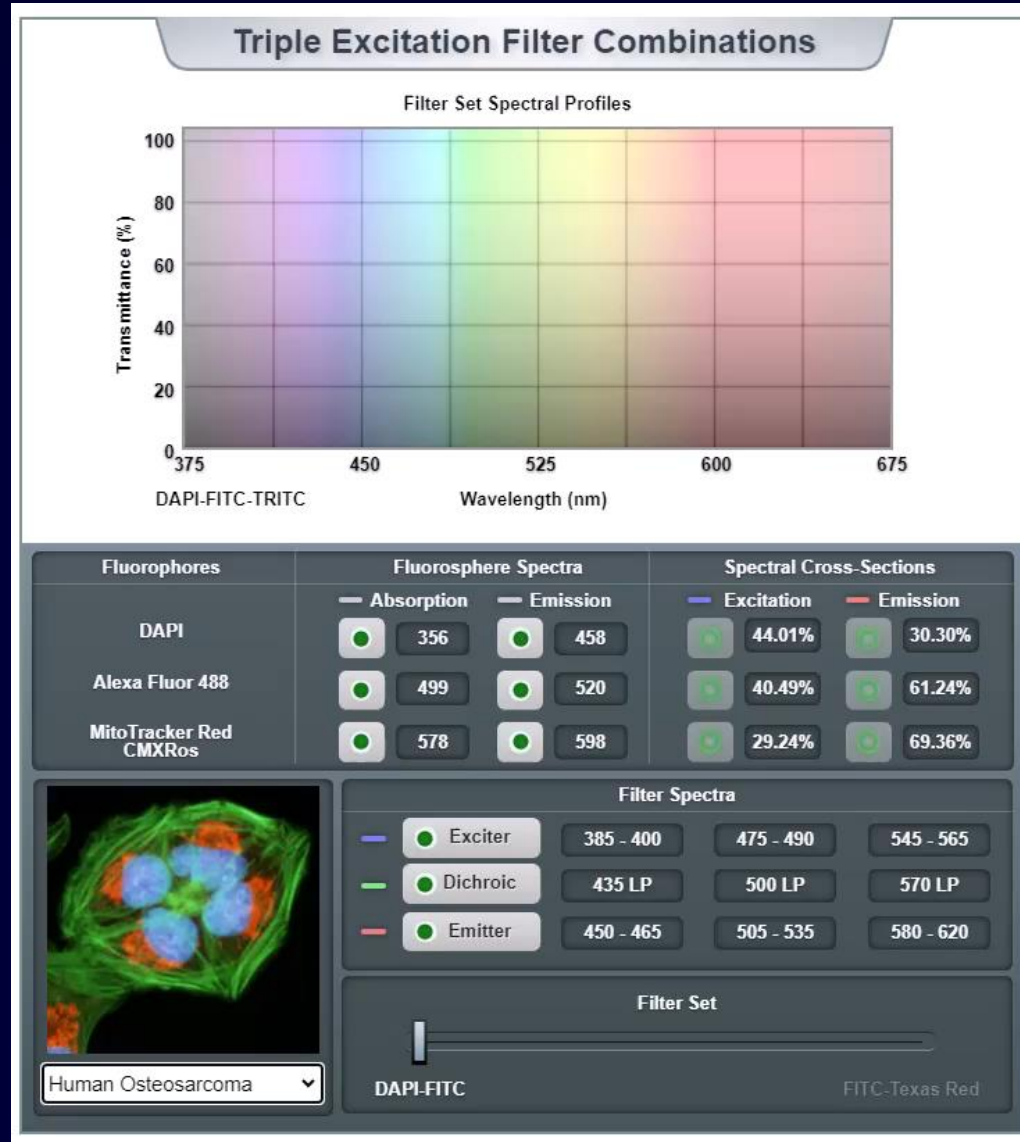
Filtry pro vícenásobné značení

- double band
- triple band

for DAPI/FITC/TRITC

U-DM-DA/Fl/TR2 *3

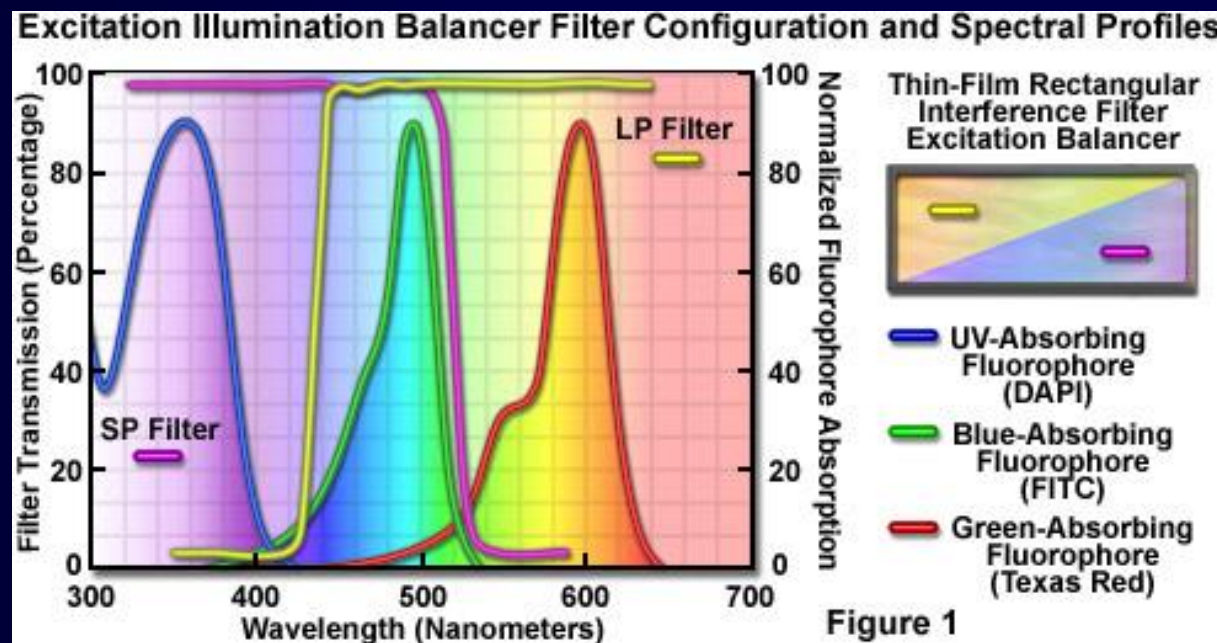




<https://www.microscopyu.com/tutorials/triple-band-excitation>

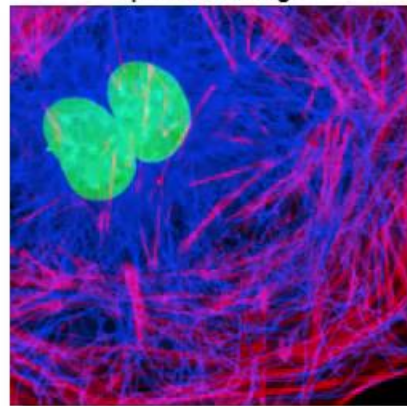
Excitační balancer

- při použití vícepásmových kostek
- při použití výbojky jako zdroje světla
- změna intenzity excitačních vlnových délek
- dvojice short pass a long pass filtrů

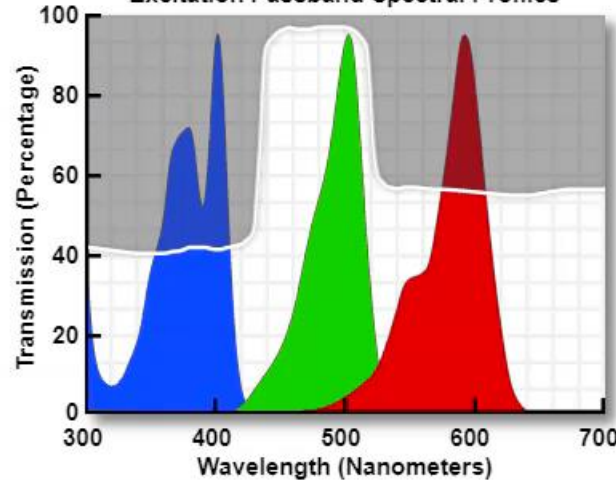


Balancing Arc-Discharge Lamp Excitation Illumination

Specimen Image



Excitation Passband Spectral Profiles



Choose a Specimen

Albino Swiss Mouse (3T3) Cell ▾

Aperture Position: Mixed Region

 Alexa Fluor 405

 SYTOX Green

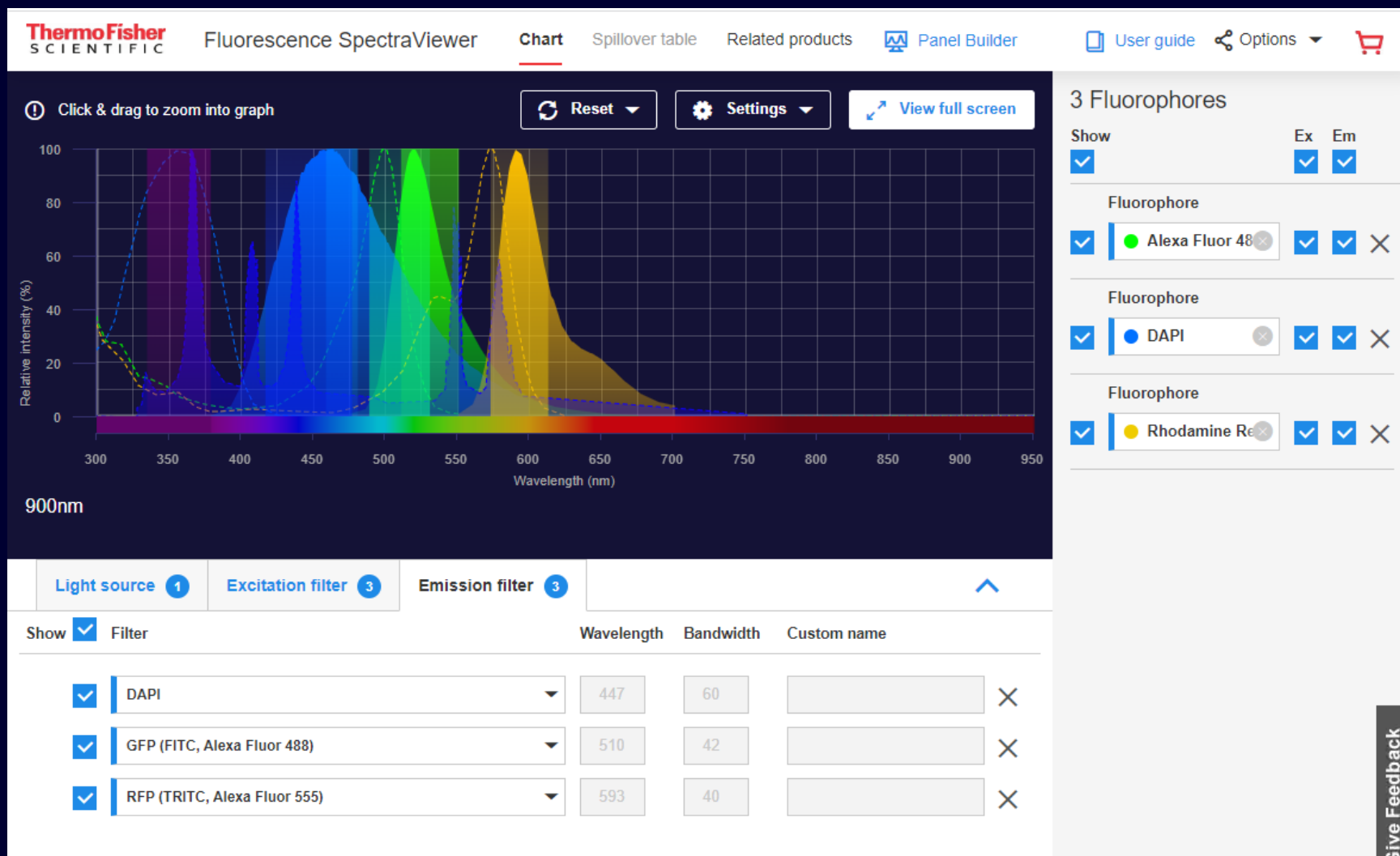
 Texas Red

Excitation Balancer



<http://www.microscopyu.com/tutorials/java/fluorescence/excitationbalancer>

Spectra-viewer



<https://www.thermofisher.com/order/fluorescence-spectraviewer/#/>